

Diabète de types...

Sylvie Lesage, PhD

Directrice scientifique, CRHMR
Professeure, Université de Montréal

Quand on pense au diabète...

Diabète de type 1



Diabète de type 2



© Joe Klamar/AFP

Le vrai visage du diabète



Le diabète: un ensemble de maladies

Autoimmunité

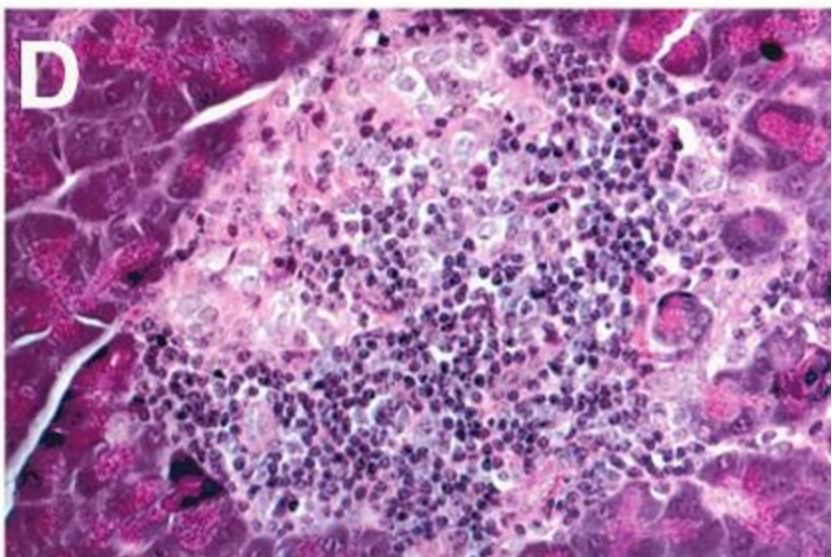
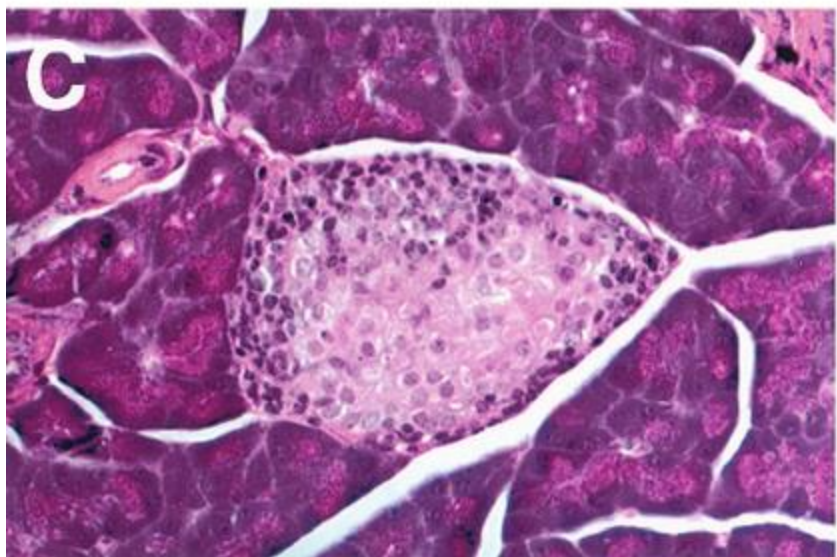
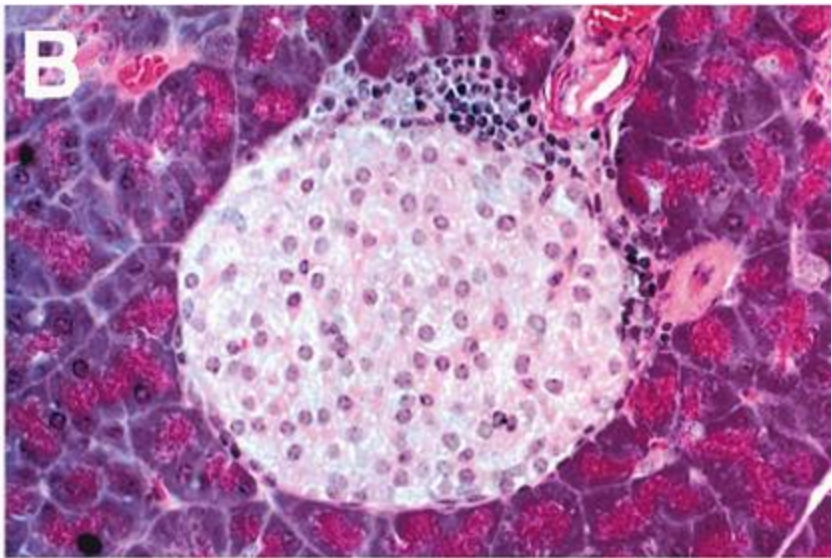
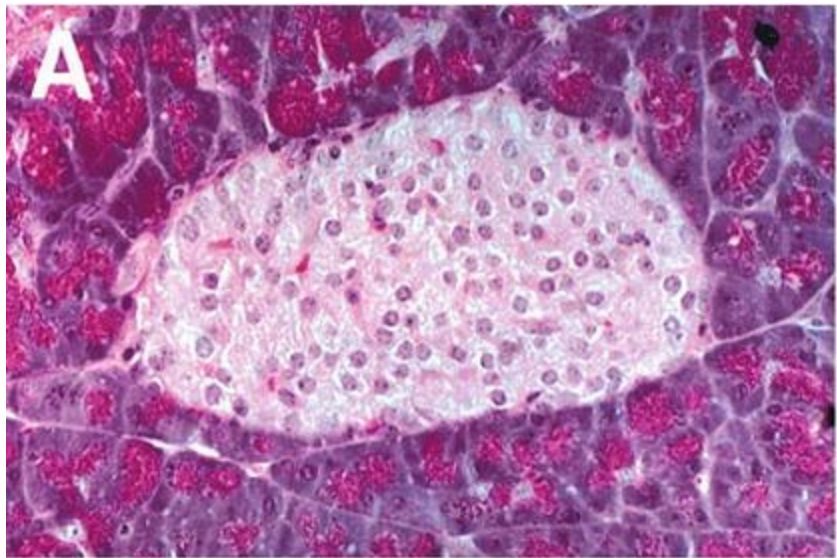
Métabolique



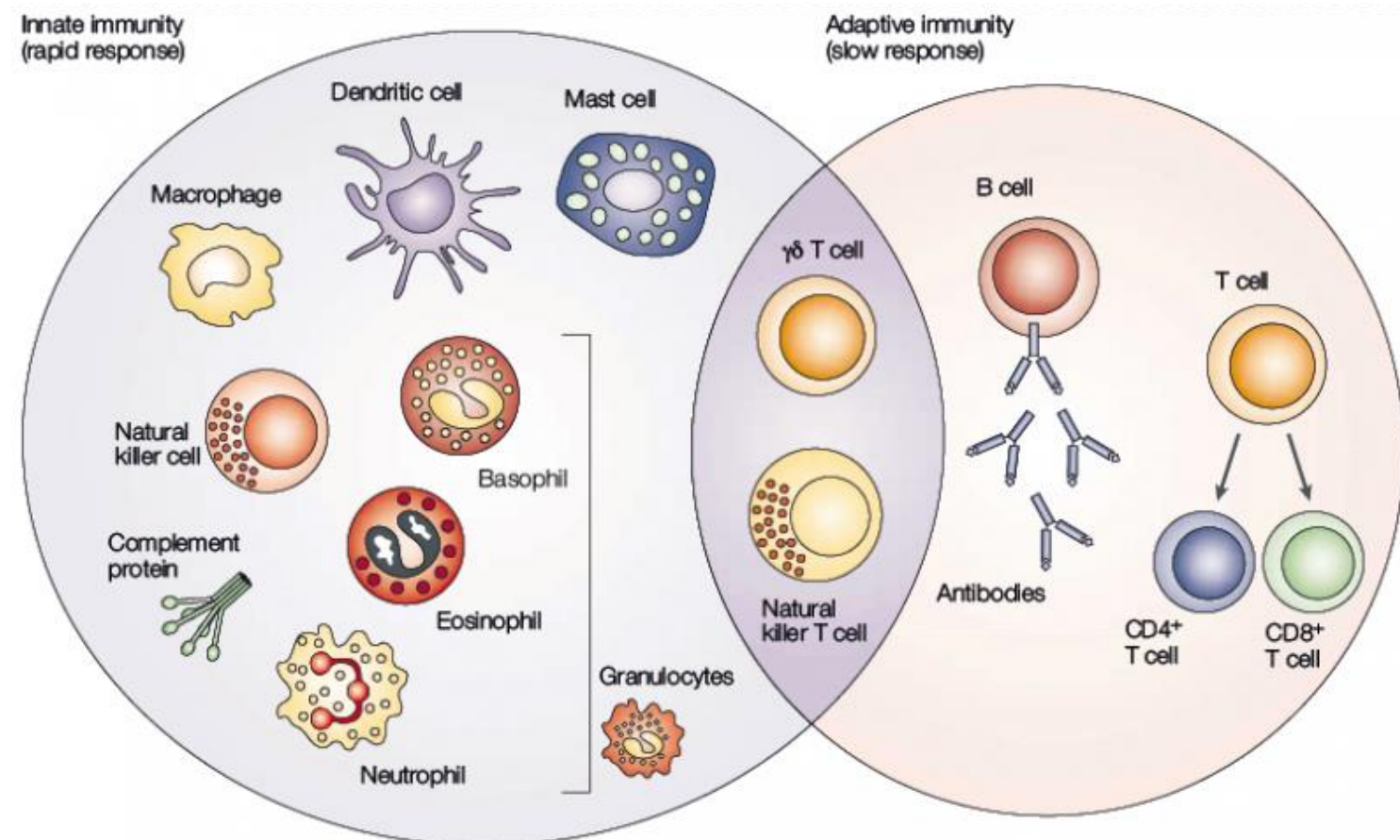
Contribution génétique:

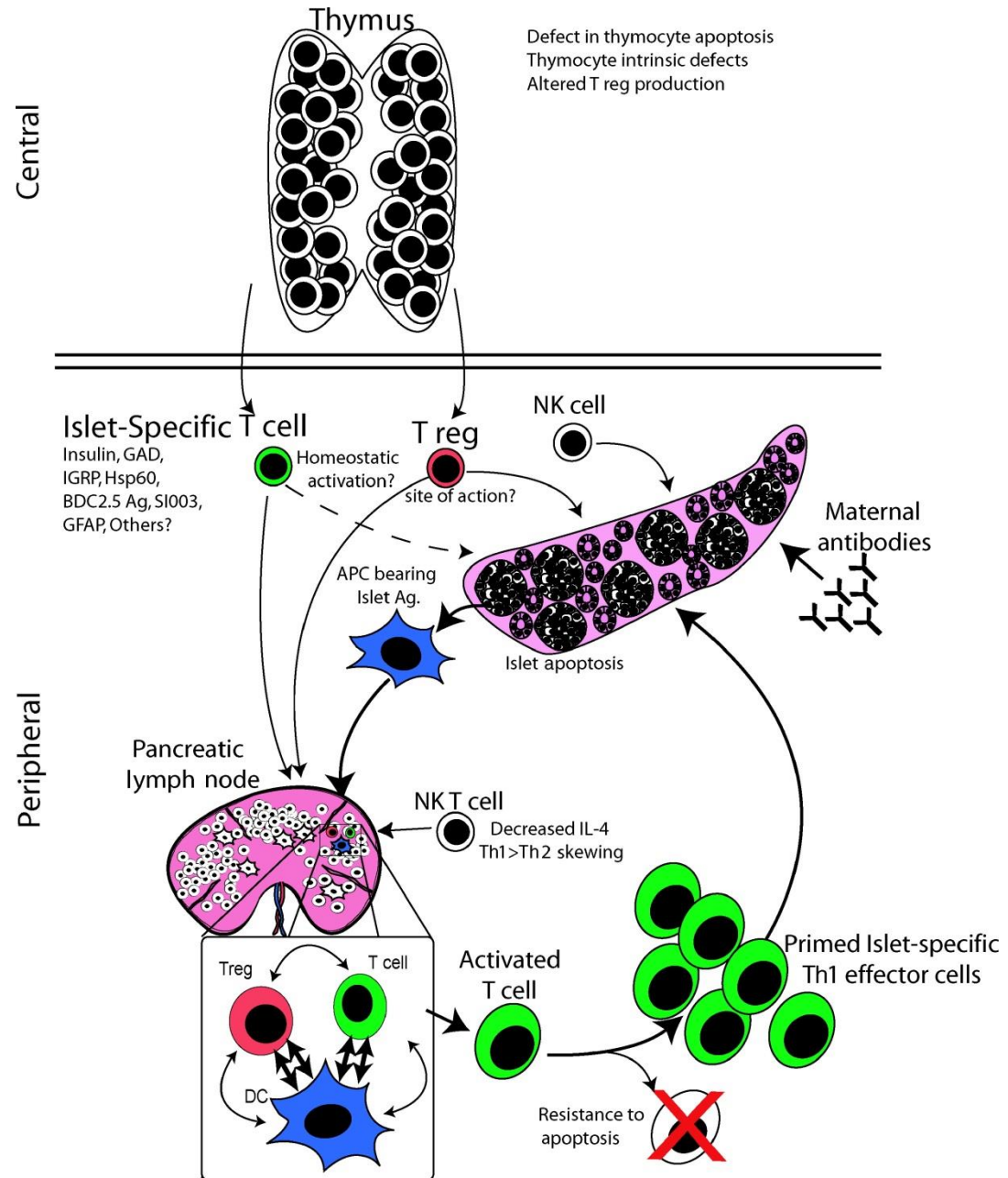
- D1T ~40% risque génétique
- D2T ~70% risque génétique
- Peu de gènes communs



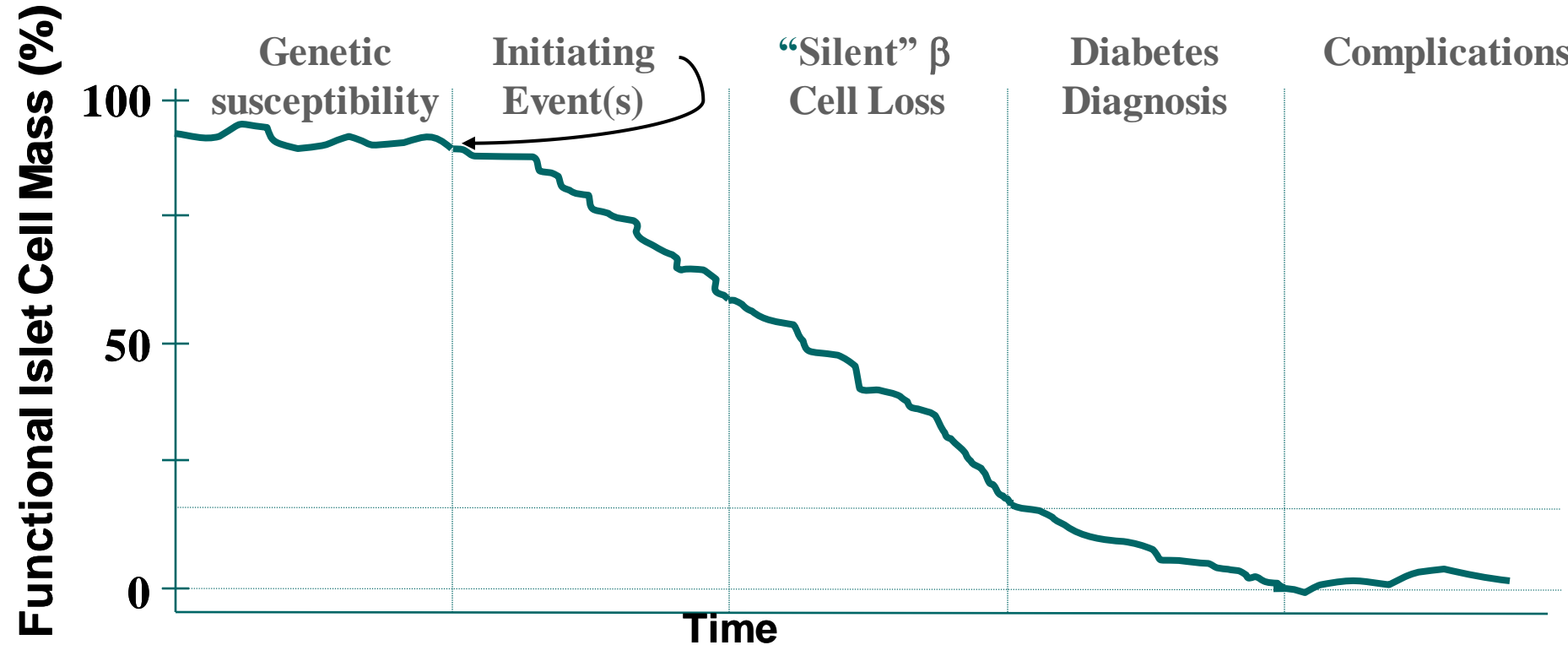


Les différentes cellules du système immunitaire





Progression du diabète de type 1



Découvertes canadiennes

**1921 Insuline
Banting et Best**

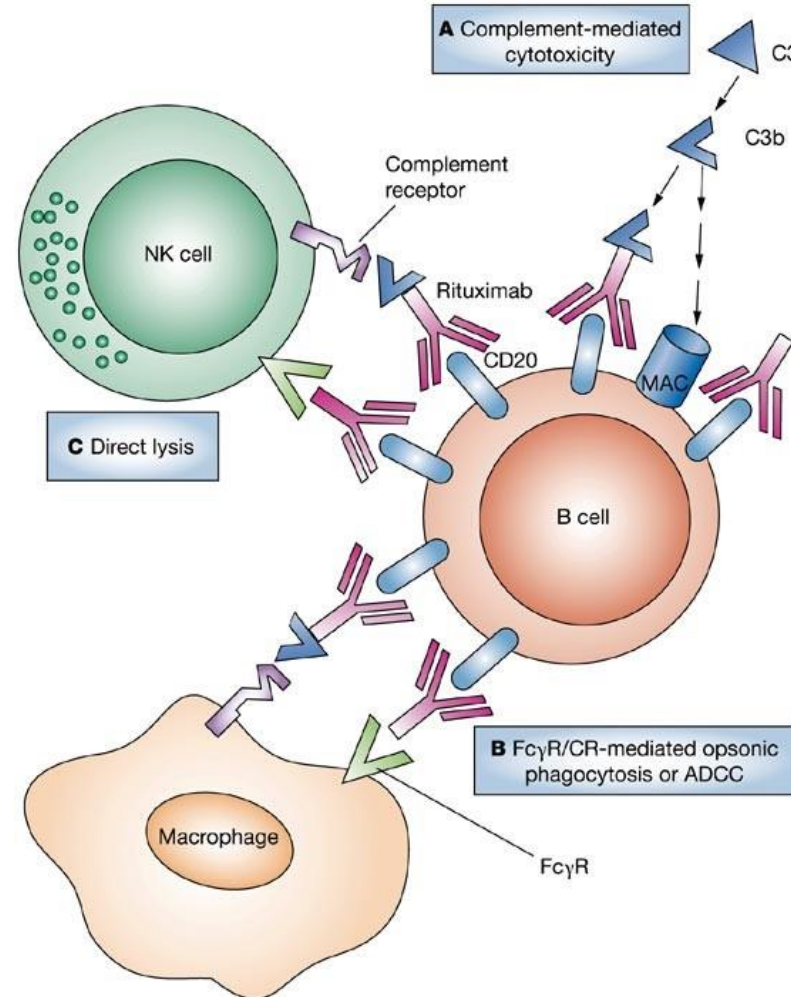
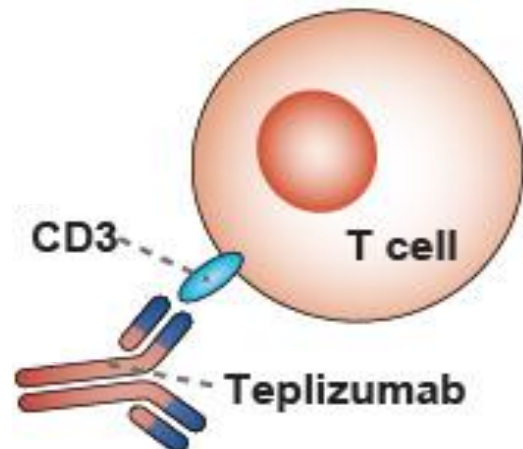


**1999 Edmonton protocol
Prof James Shapiro**



Biologiques Nouvelle génération de thérapies

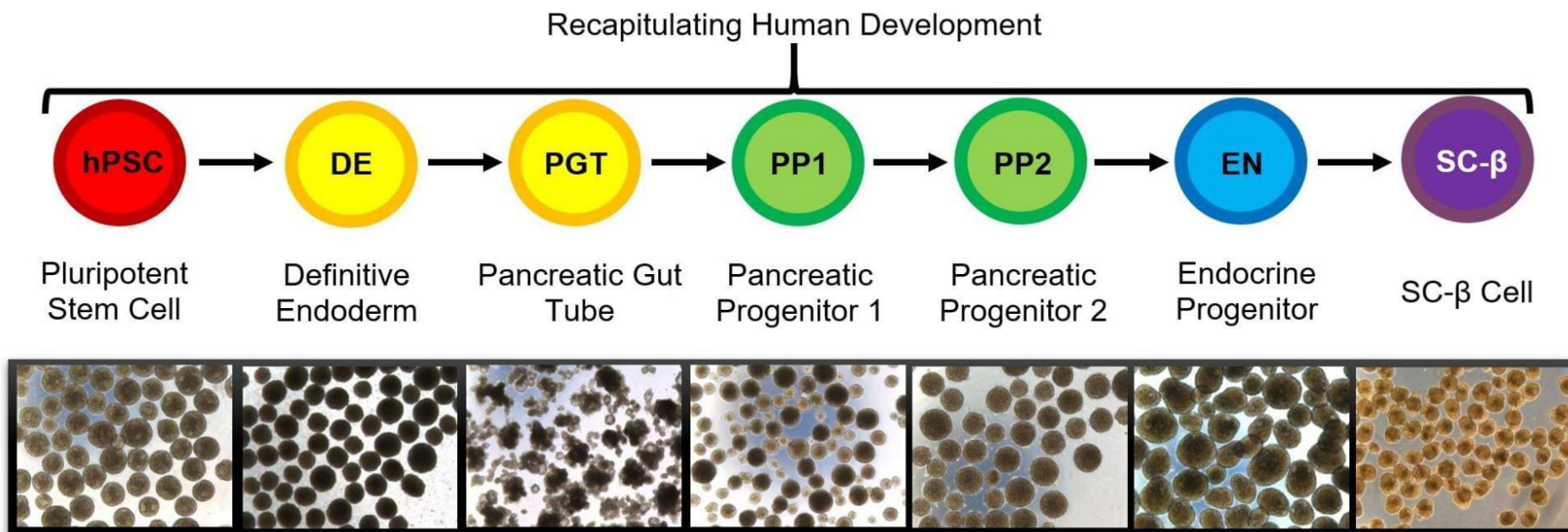
Teplizumab
Depuis 2002



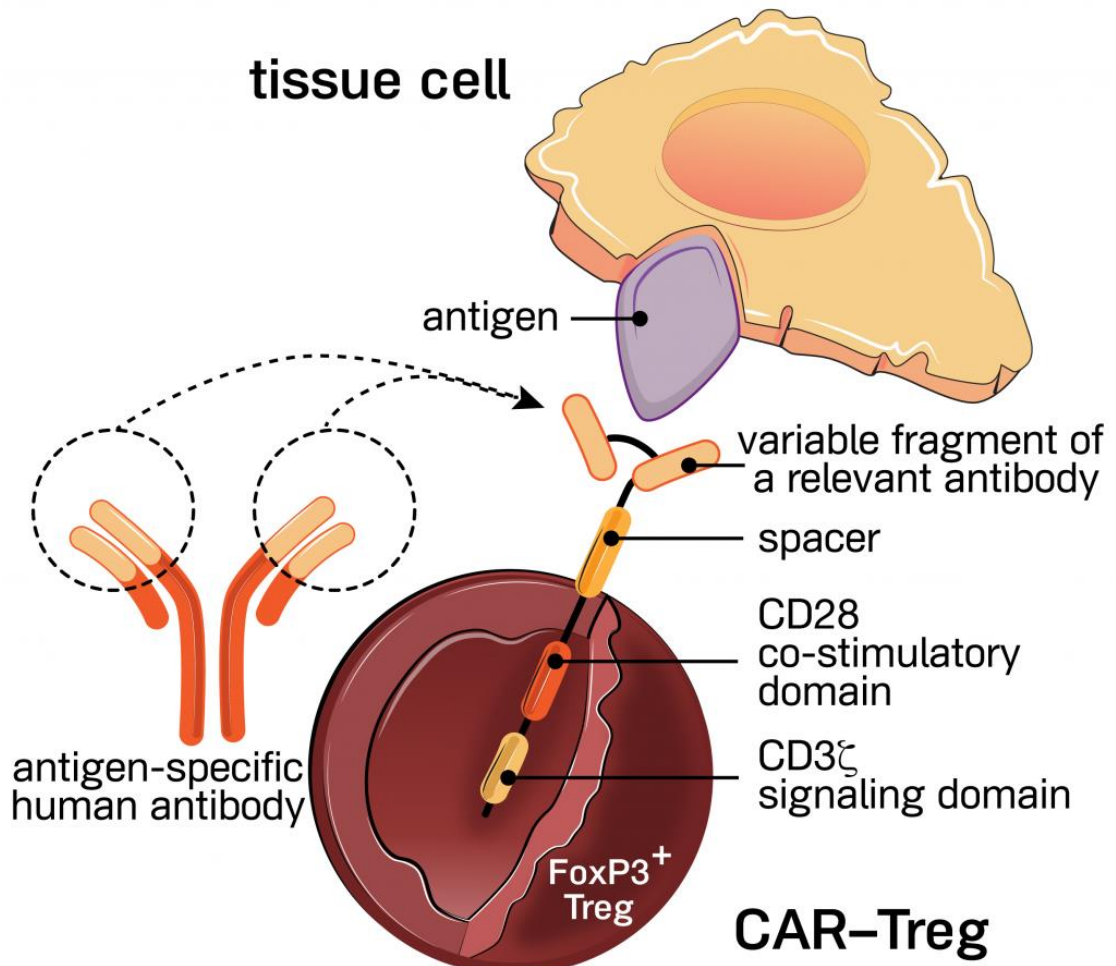
Rituximab
Depuis 2009

Le futur proche

Cellules souches – source de cellules beta



Le futur proche



Immunosuppression
spécifique

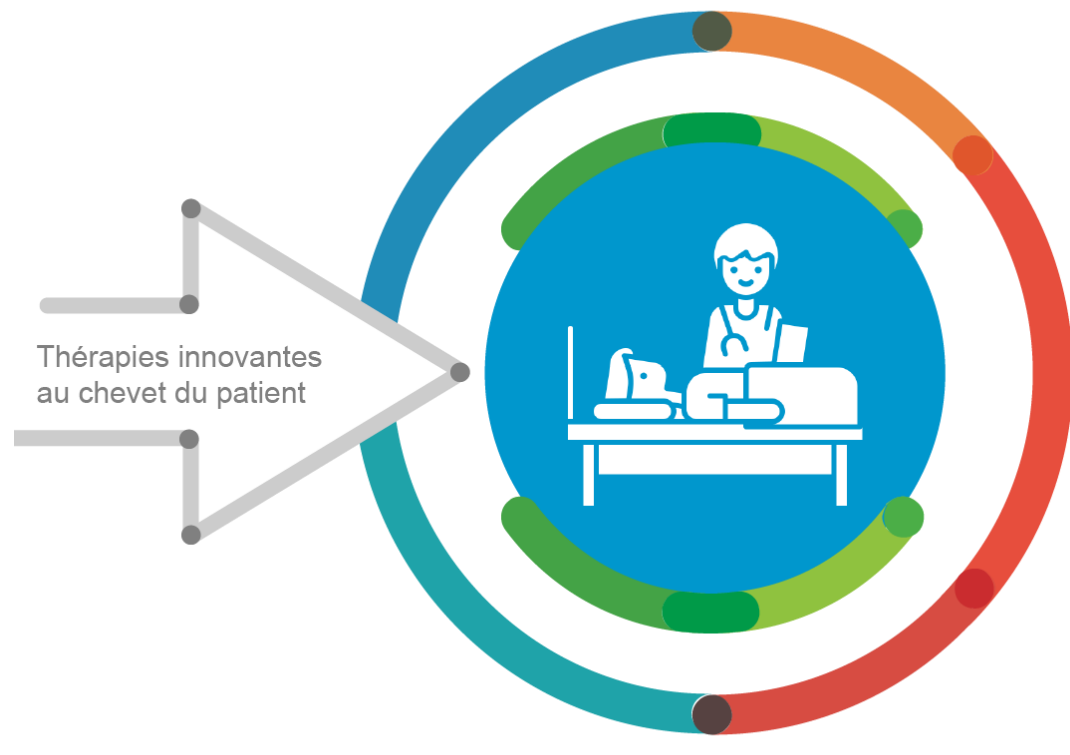
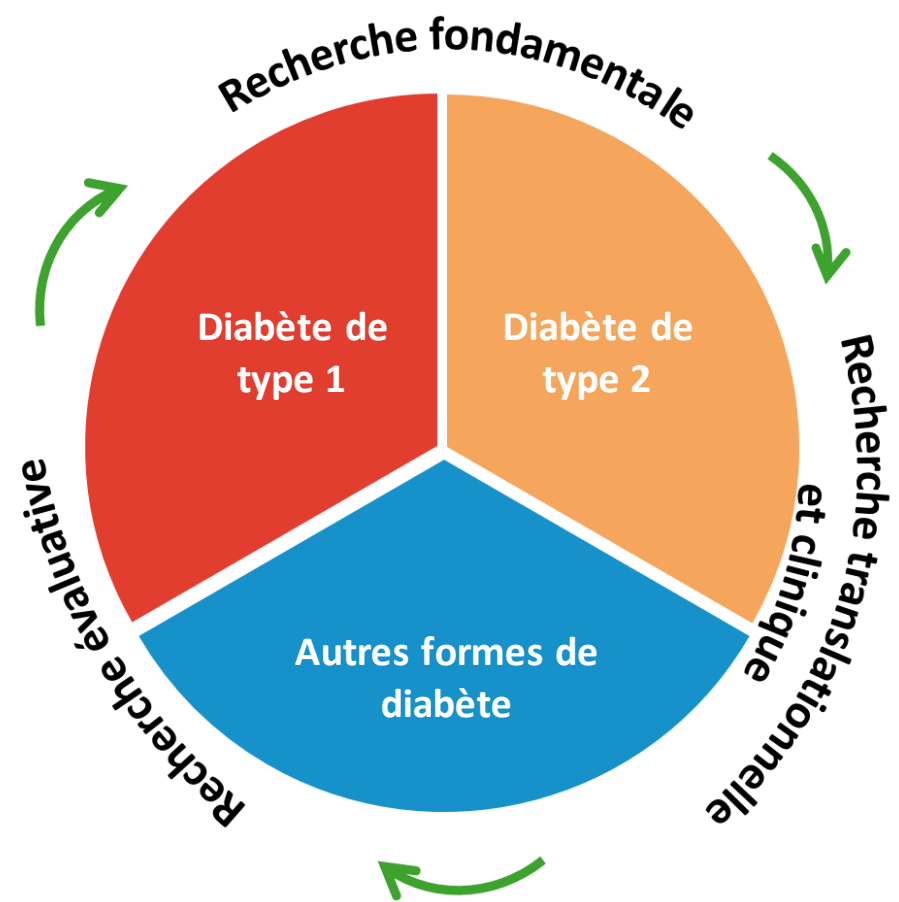
C'est quoi le futur proche?



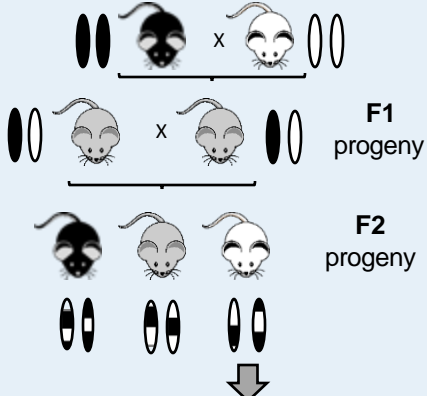
C'est quoi le futur proche?
Pourquoi est-il si loin?



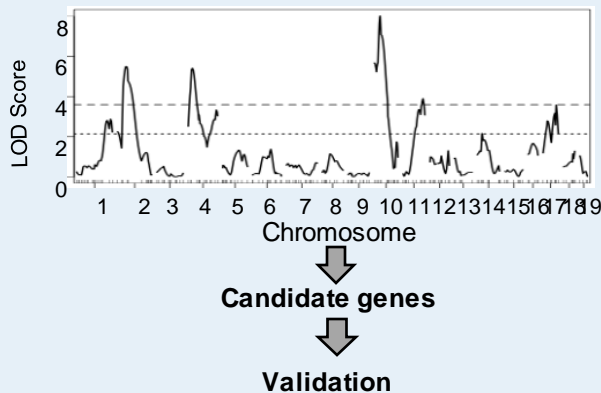
De la recherche fondamentale jusqu'aux soins



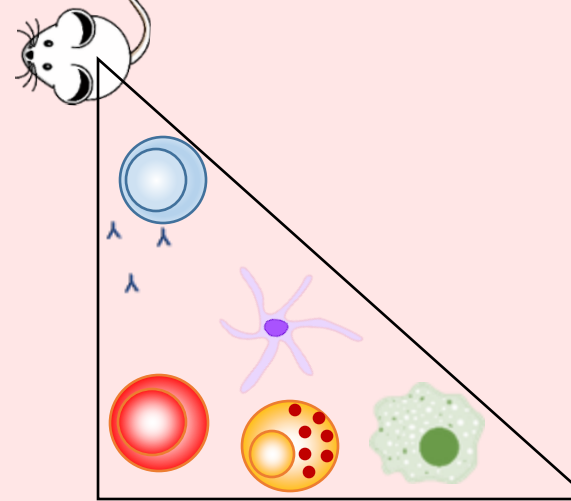
Immunogenetics



Phenotype vs Genetic Regions for F2 mice



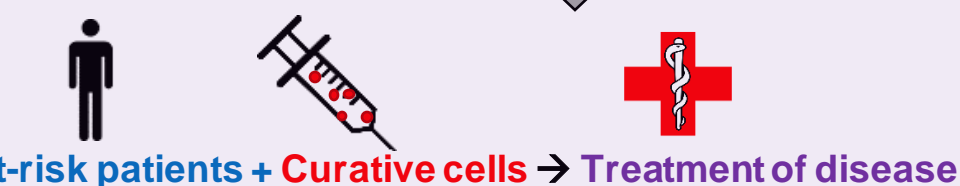
Cellular Immunology



- Cell phenotype
- Cell function
- Cell numbers
- Role in disease

Translational Immunology

Identification of susceptibility genes → Identification of patient susceptibility to disease



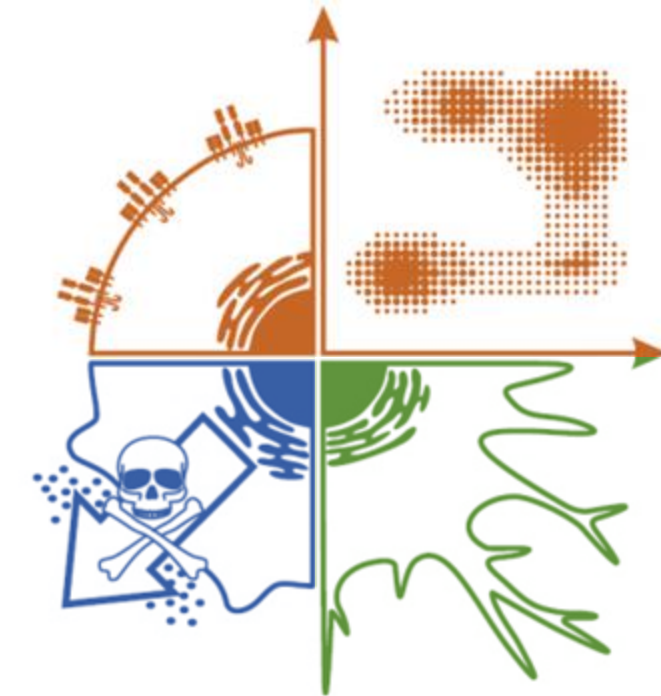


Immunogénétique

Cellules DN T

Cellules NK

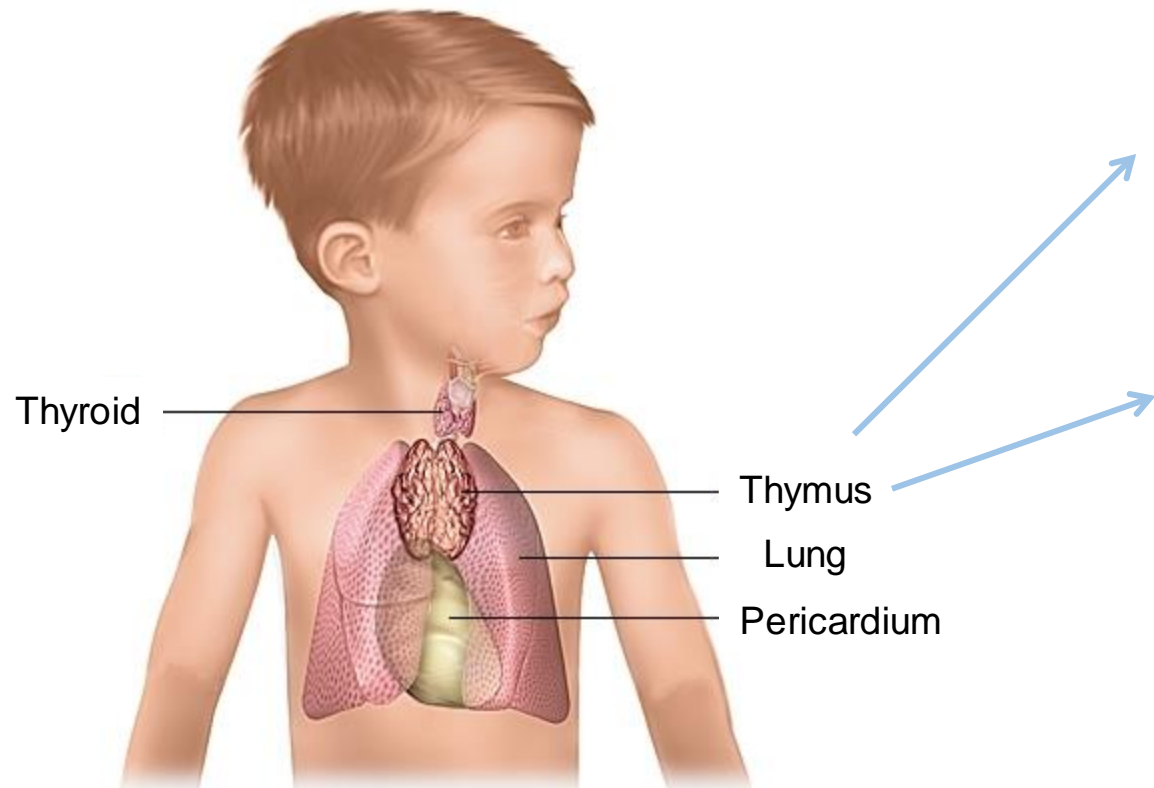
Cellules dendritiques



LABO LESAGE



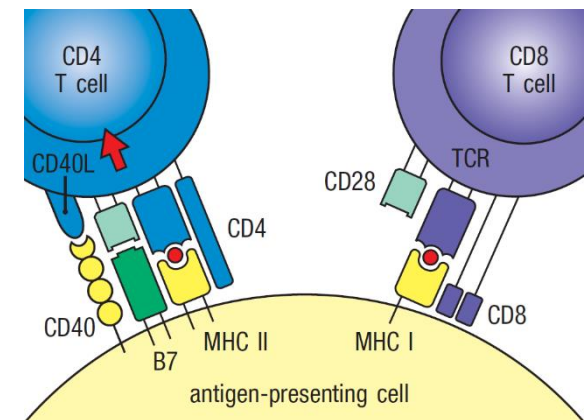
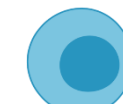
Thymus



CD4⁺



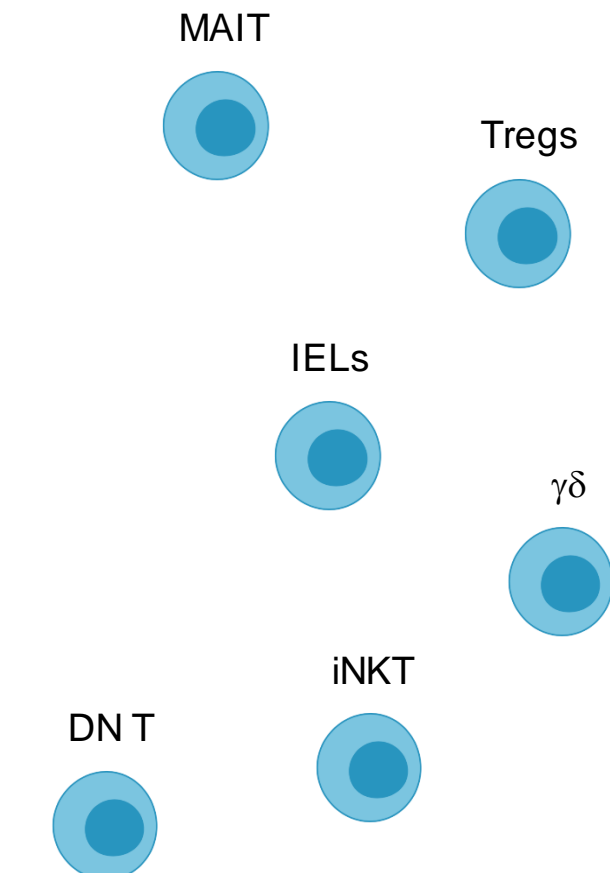
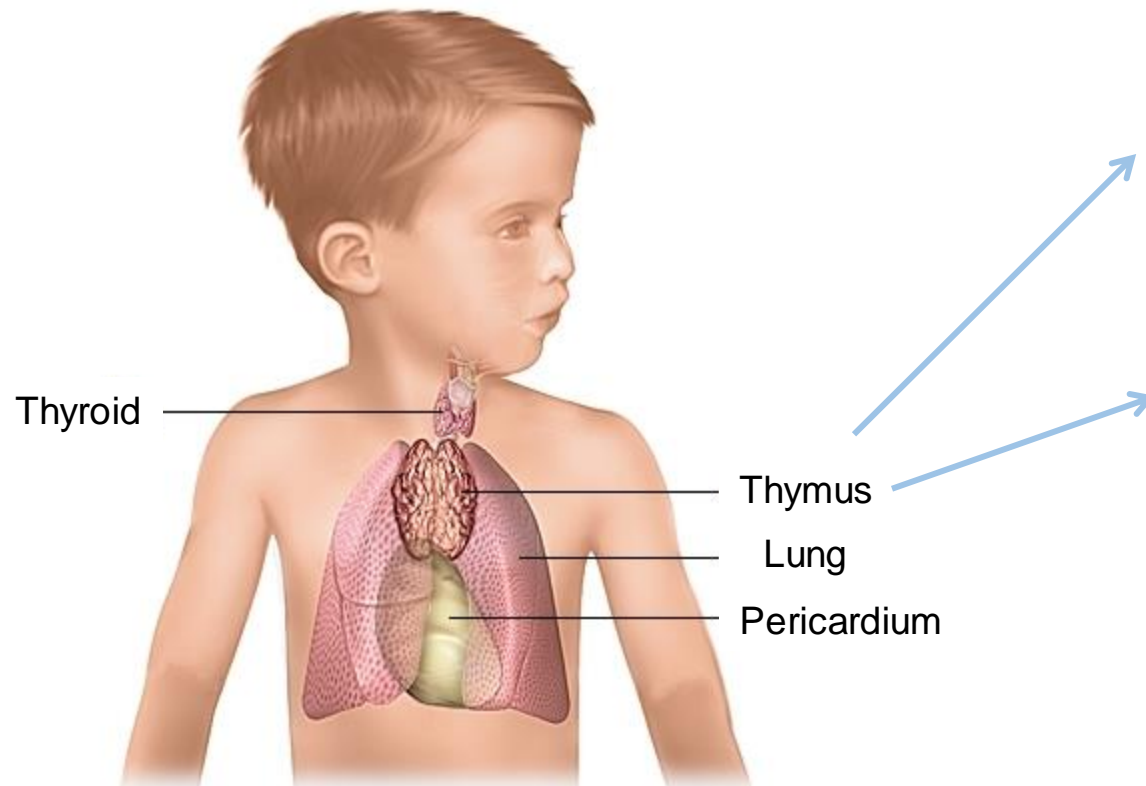
CD8⁺



Modified from Archives Larousse
(Michel Saemann)

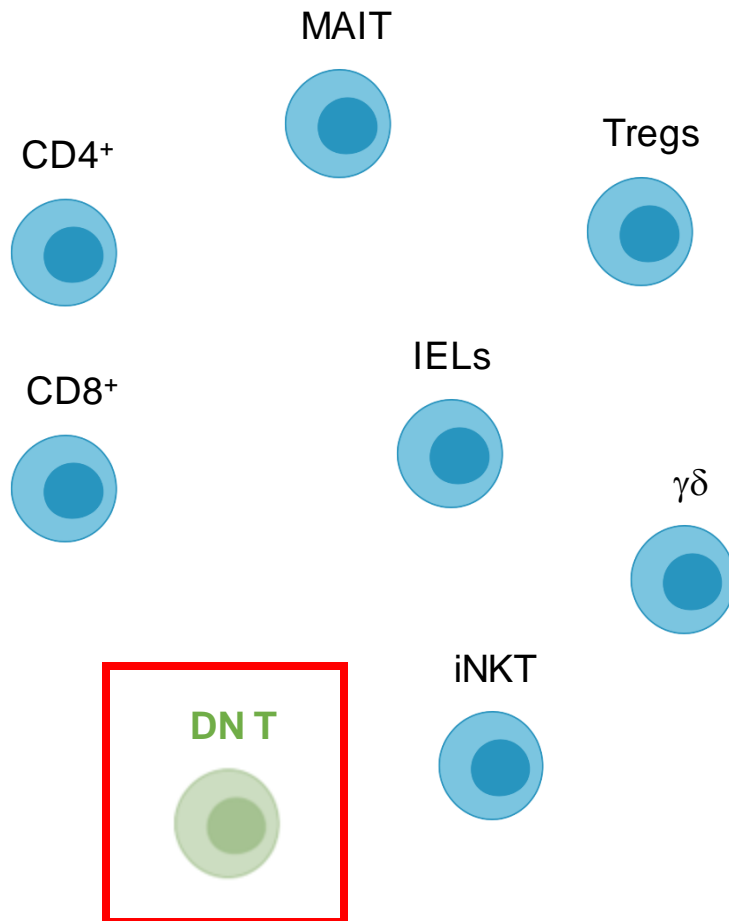
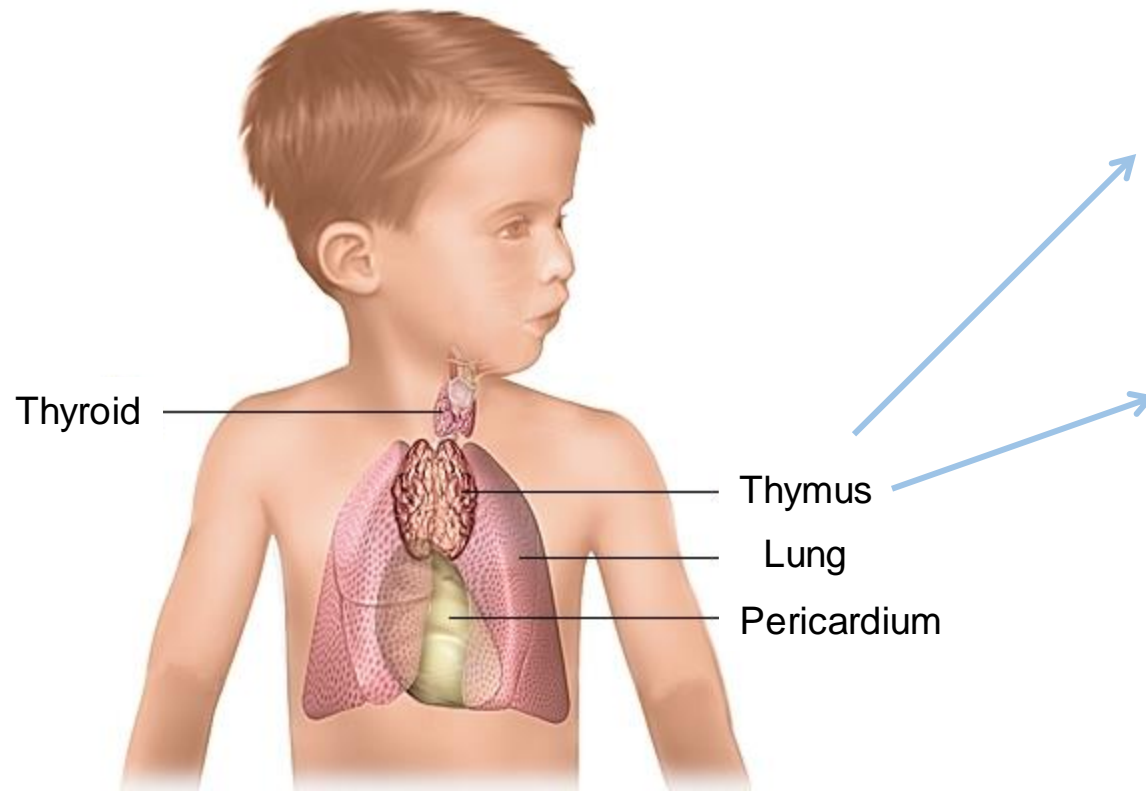


Thymus



Modified from Archives Larousse
(Michel Saemann)

Thymus



Modified from Archives Larousse
(Michel Saemann)

La souris NOD



**Modèle de
diabète
autoimmun**



**Souris
résistante au
diabète**

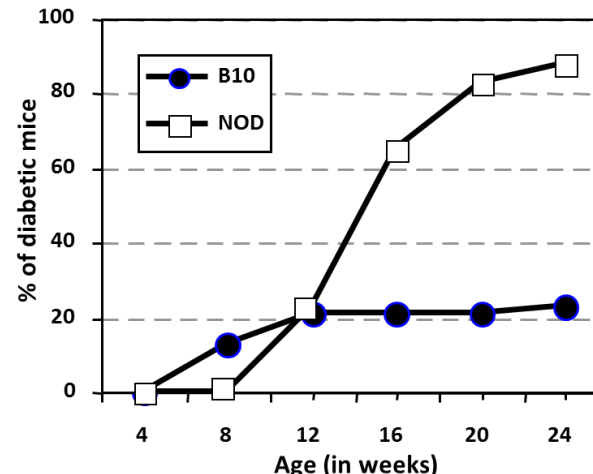
3A9 TCR transgénique

3A9 TCR: Specific for hen egg lysozyme (HEL) peptide 48–62:I-A^k

insHEL : Hel protein expressed under the rat insulin promoter

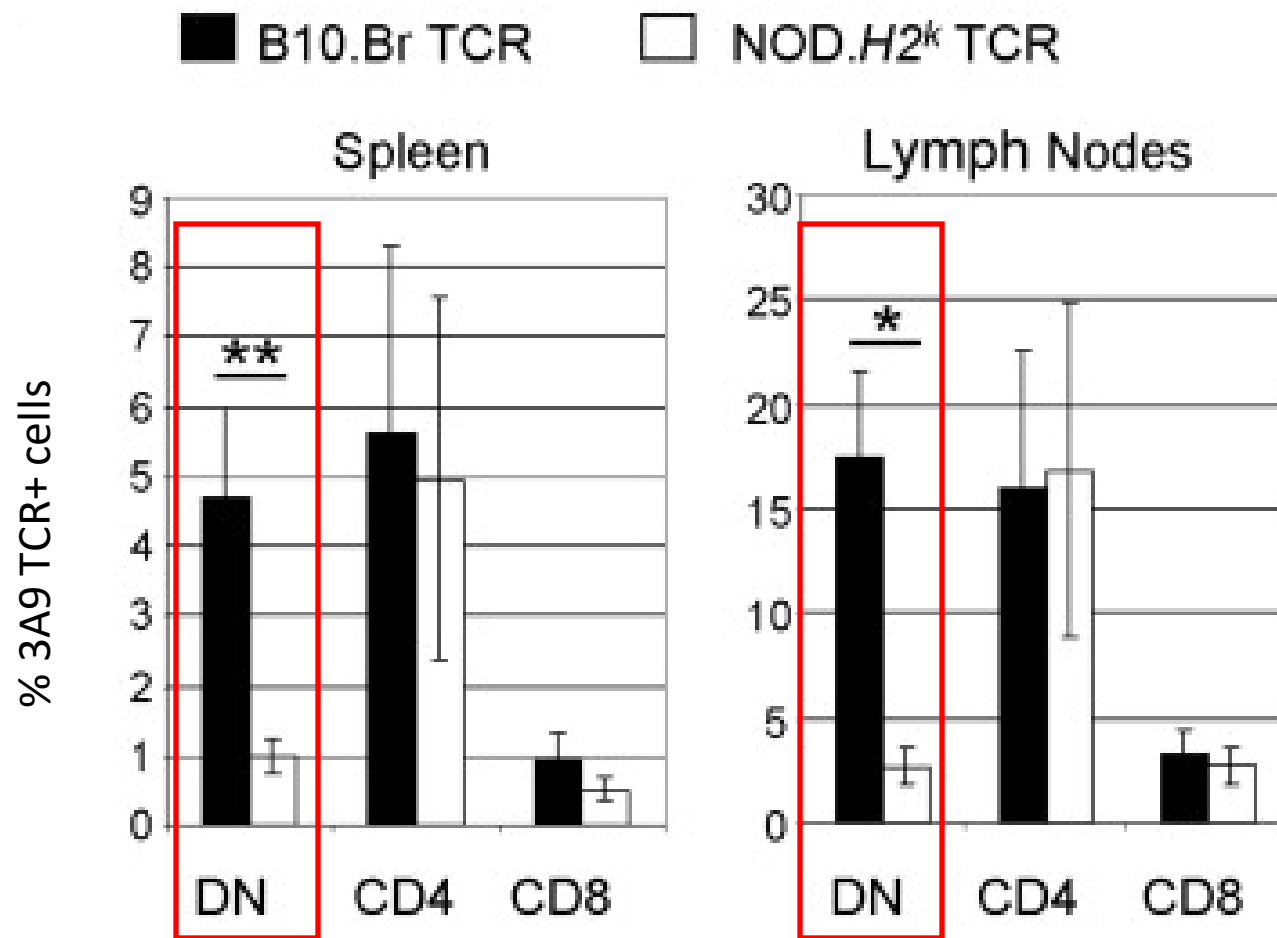


NOD.H2^k TCR 3A9 : insHEL
↓
Diabetes-prone

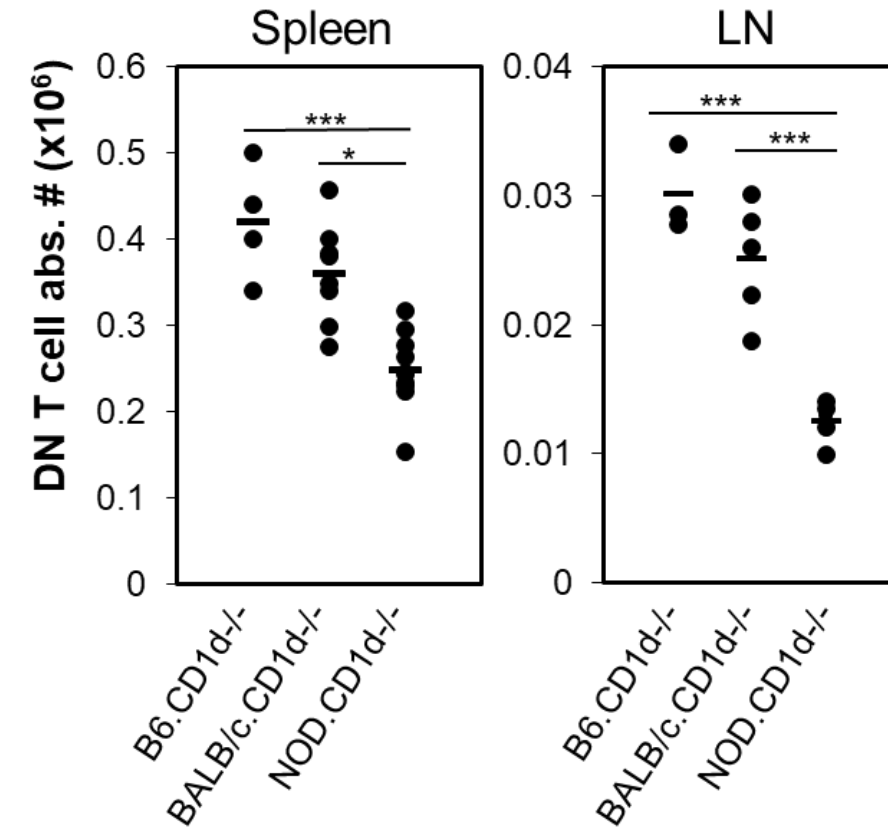
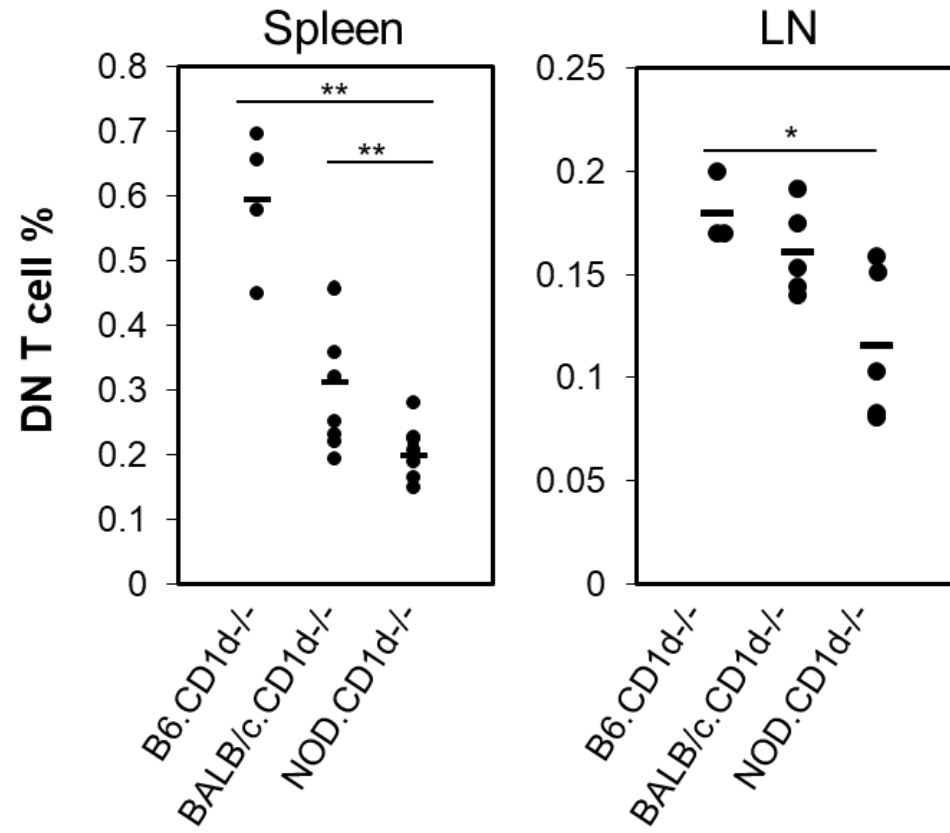


B10.BR TCR 3A9 : insHEL
↓
Diabetes-resistant

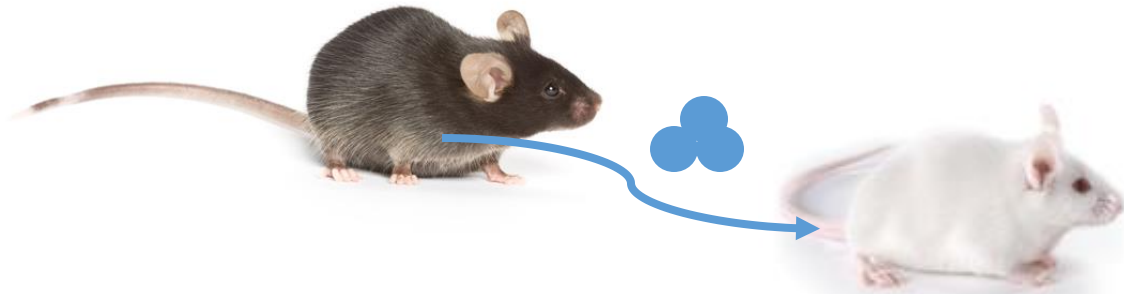
Les souris NOD ont peu de cellules DN T



Faible nombre de cellules DN T

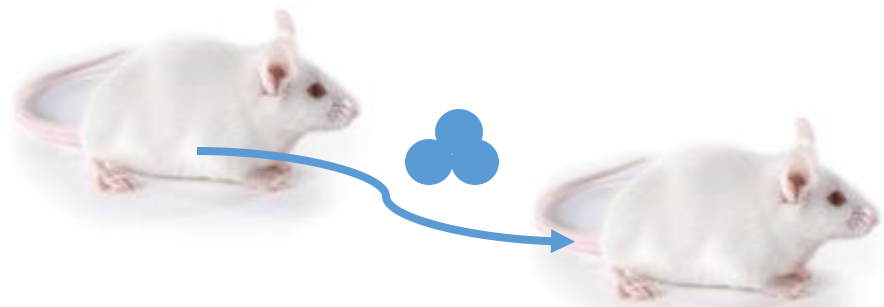


Beaucoup de
cellules DN T



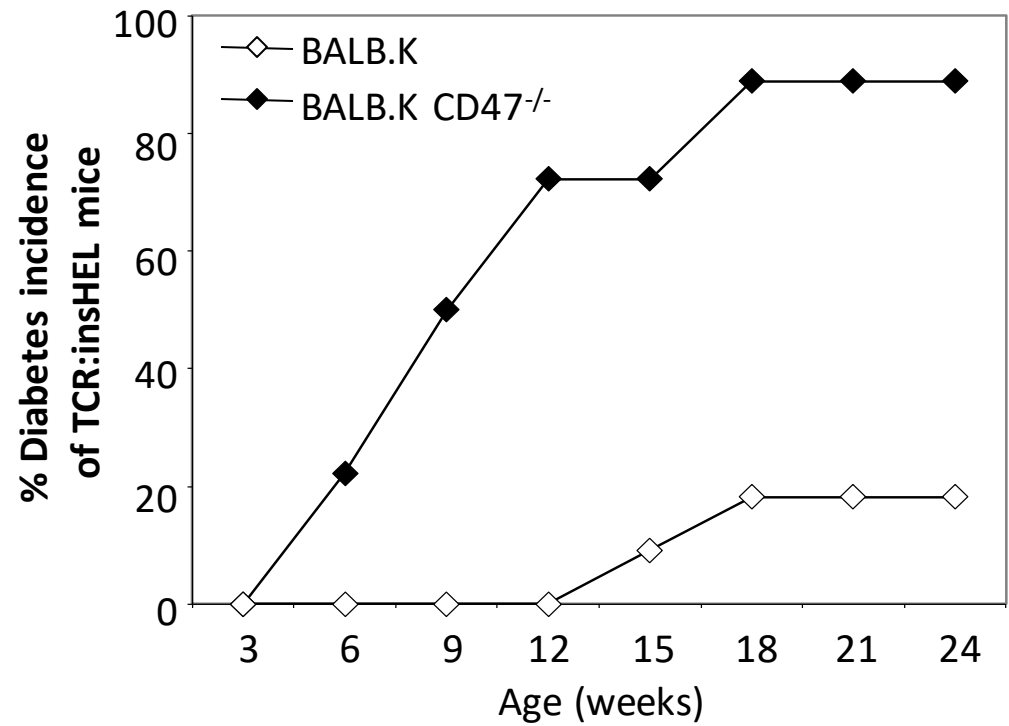
Prévenir ou
traiter le diabète?

Beaucoup de
cellules DN T

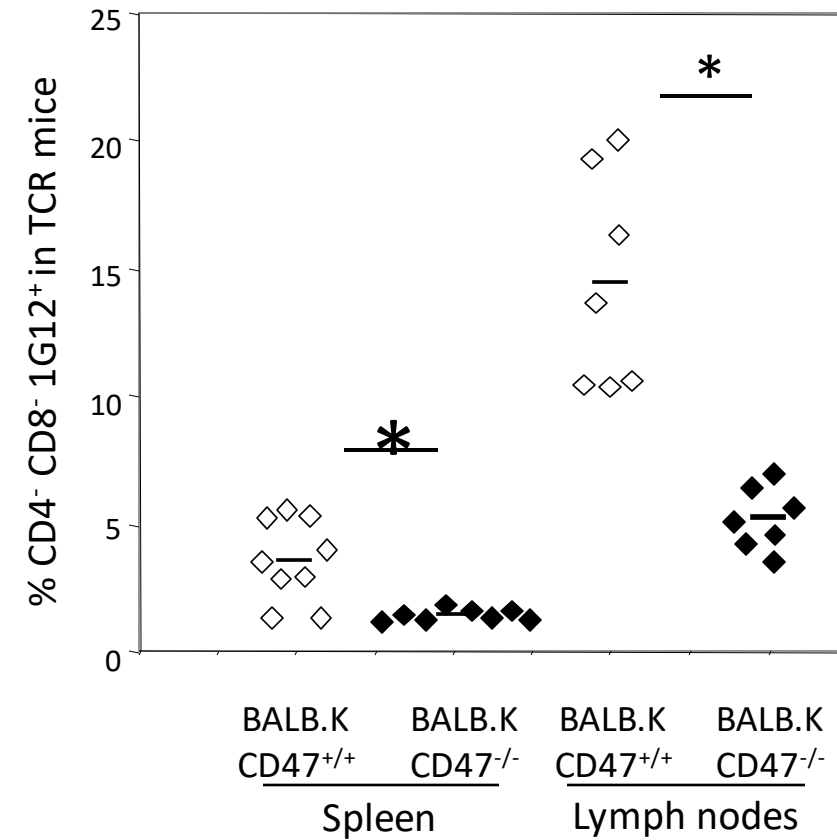
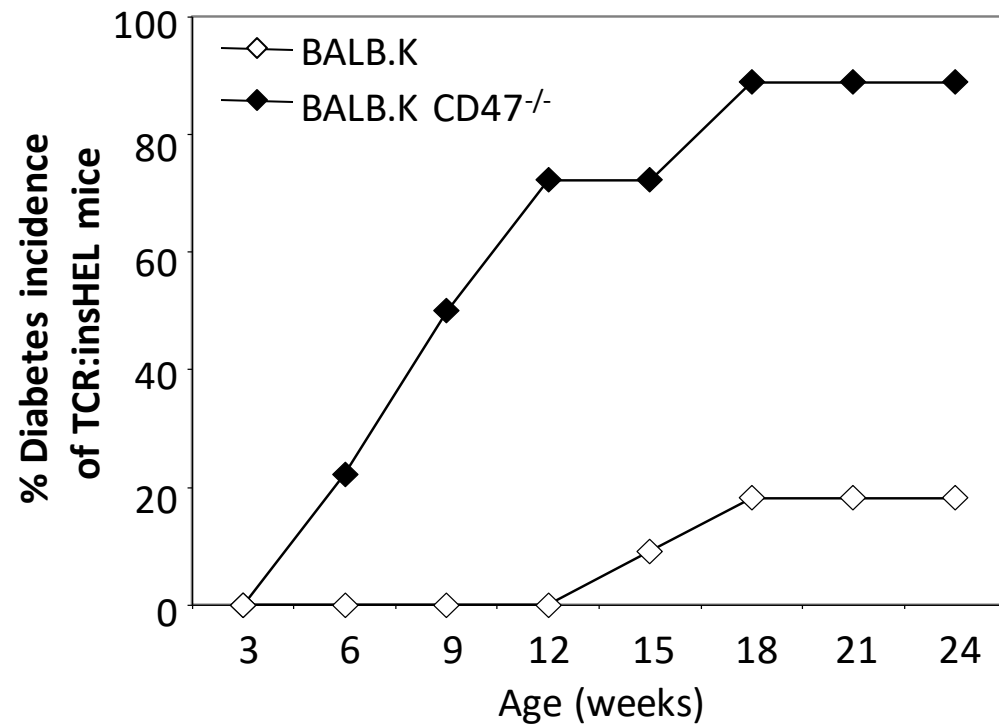


Prévenir ou
traiter le diabète?

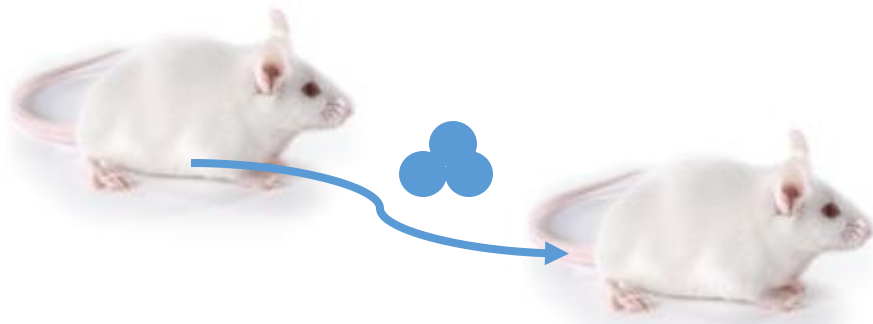
Un modèle syngénique



Un modèle syngénique Plus de diabète et moins de cellules DN T

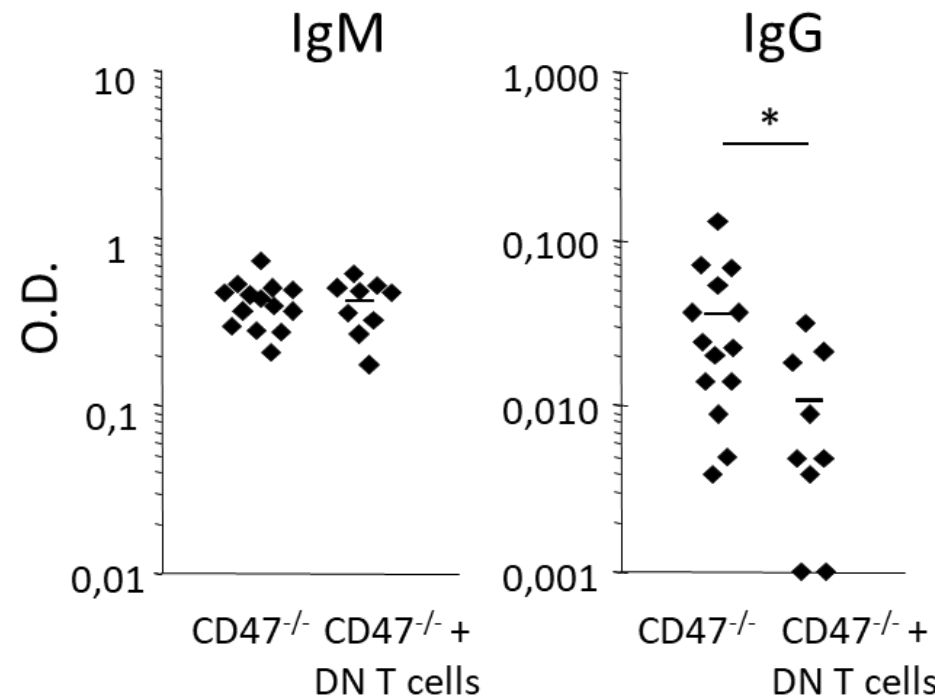
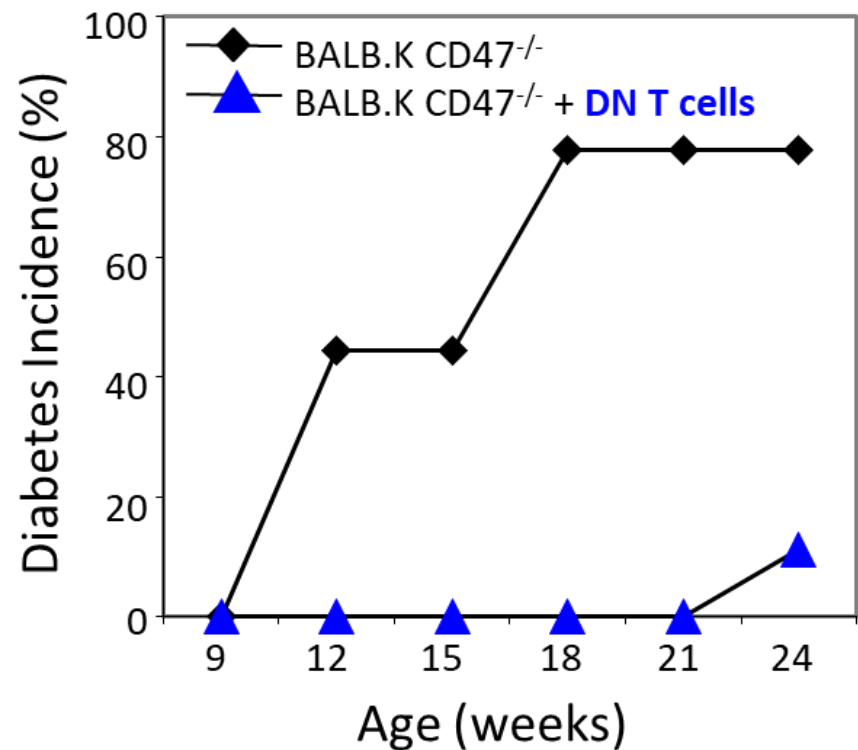


Beaucoup de
cellules DN T



Prévenir ou
traiter le diabète?

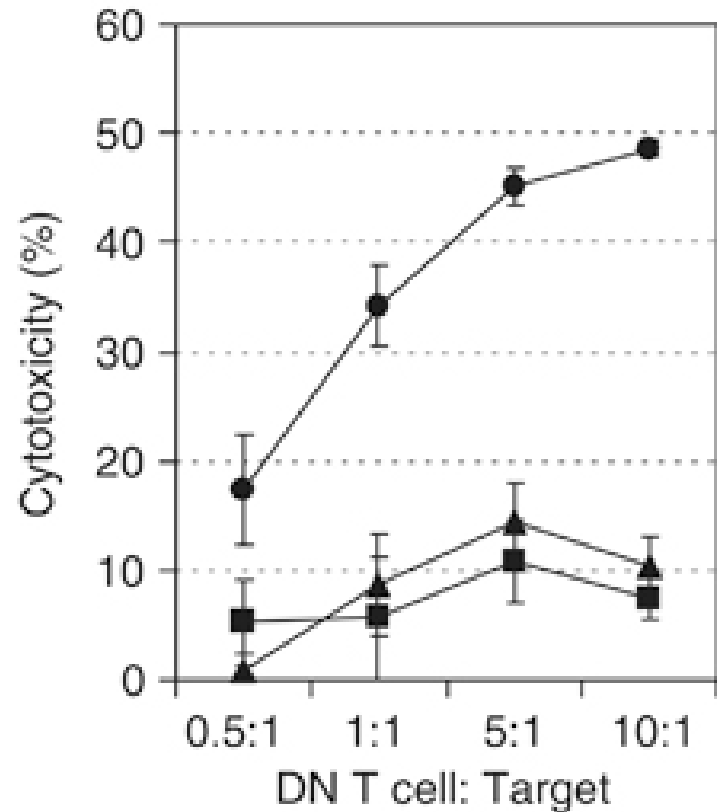
Les cellules DN T et le diabète



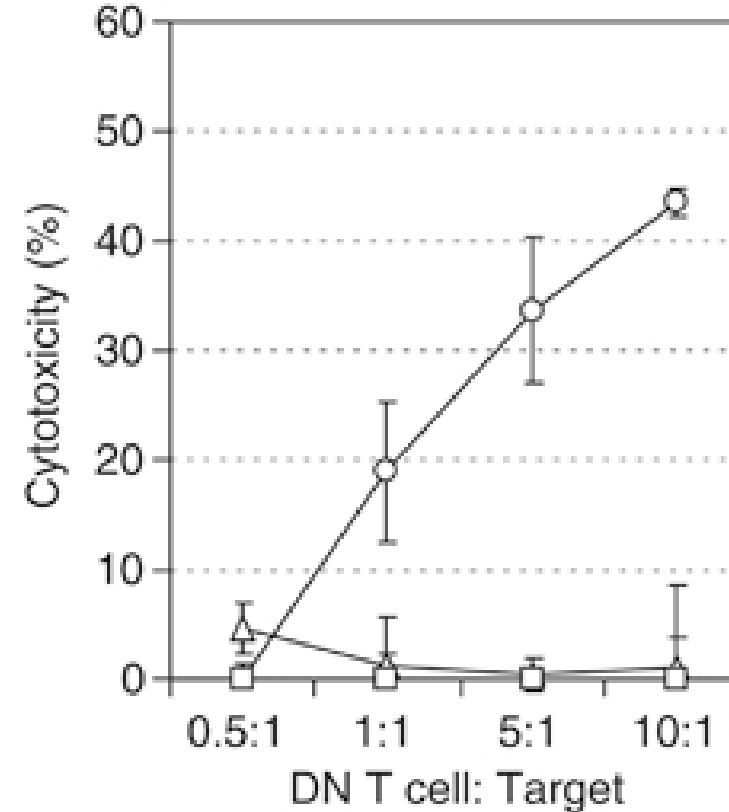
Les cellules DN T cells éliminent les cellules B



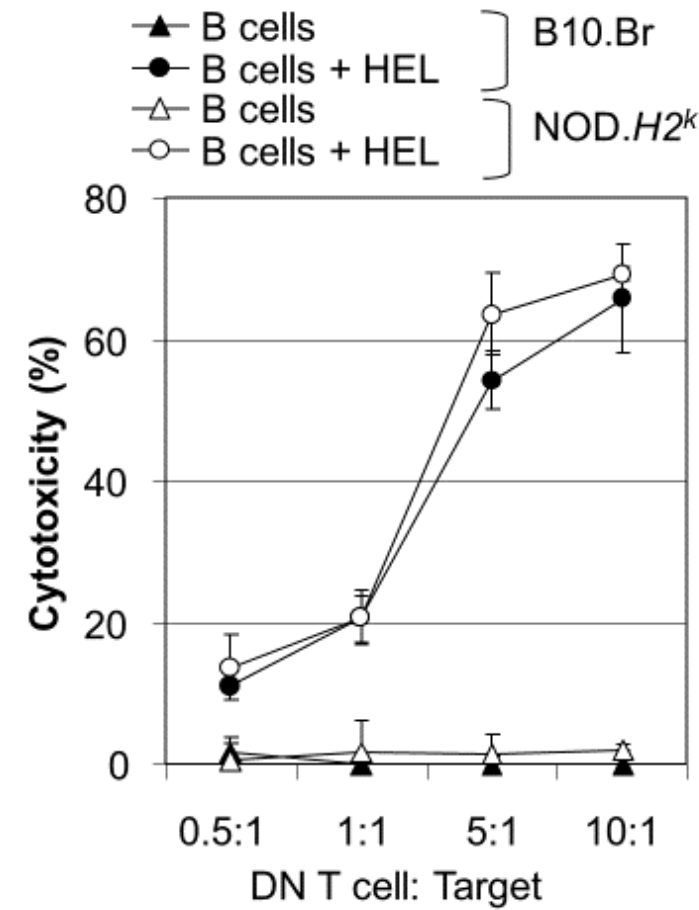
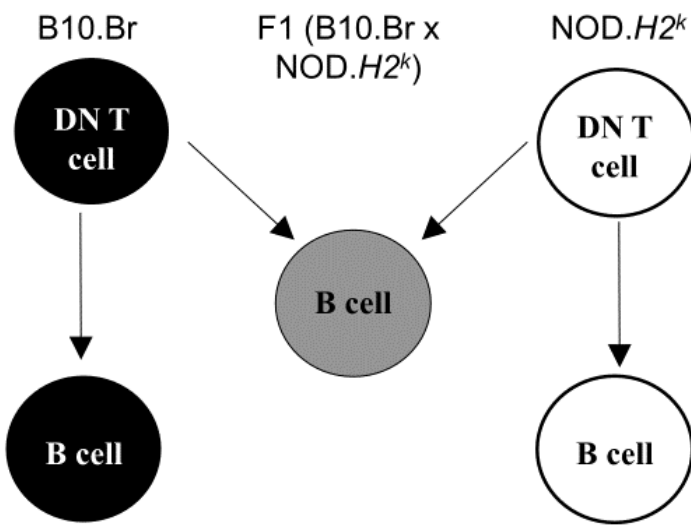
- ▲ B cells
- B cells + HEL
- B cells + HEL + EGTA



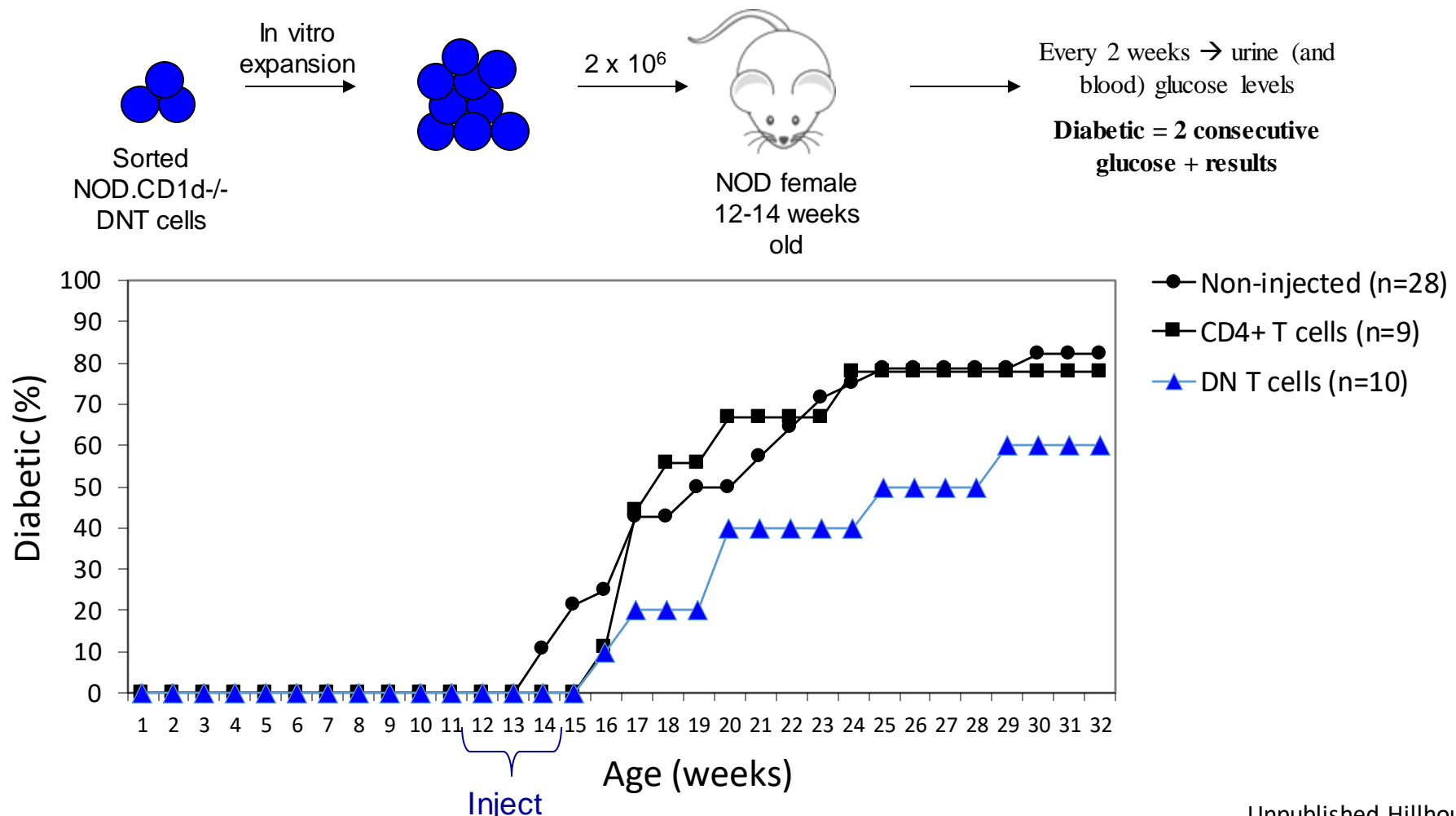
- △ B cells
- B cells + HEL
- B cells + HEL + EGTA



Les cellules DN T sont fonctionnelles



Une injection de cellules DN T réduit l'incidence de diabète

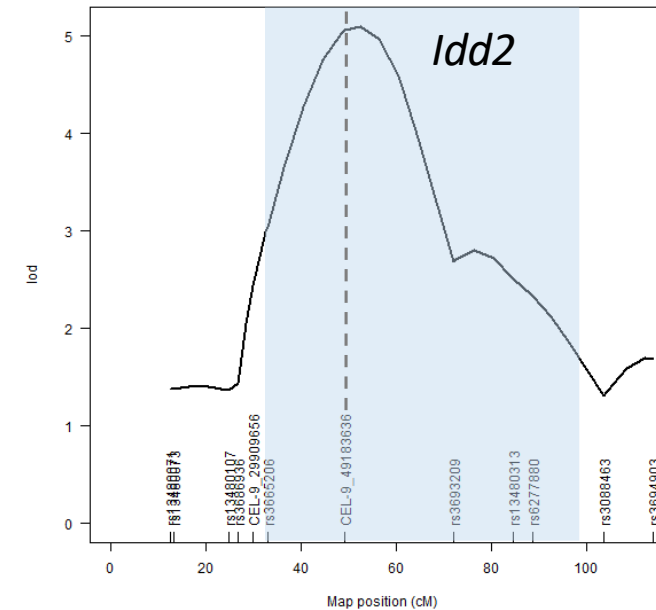
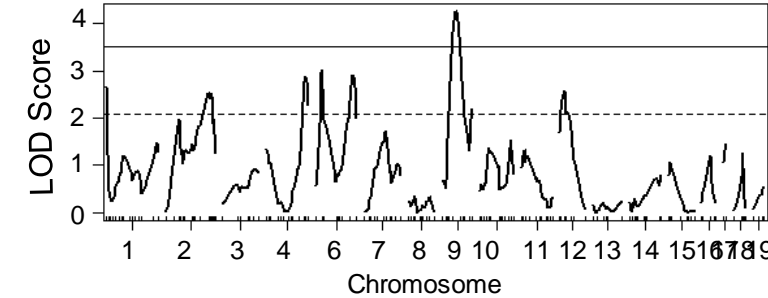
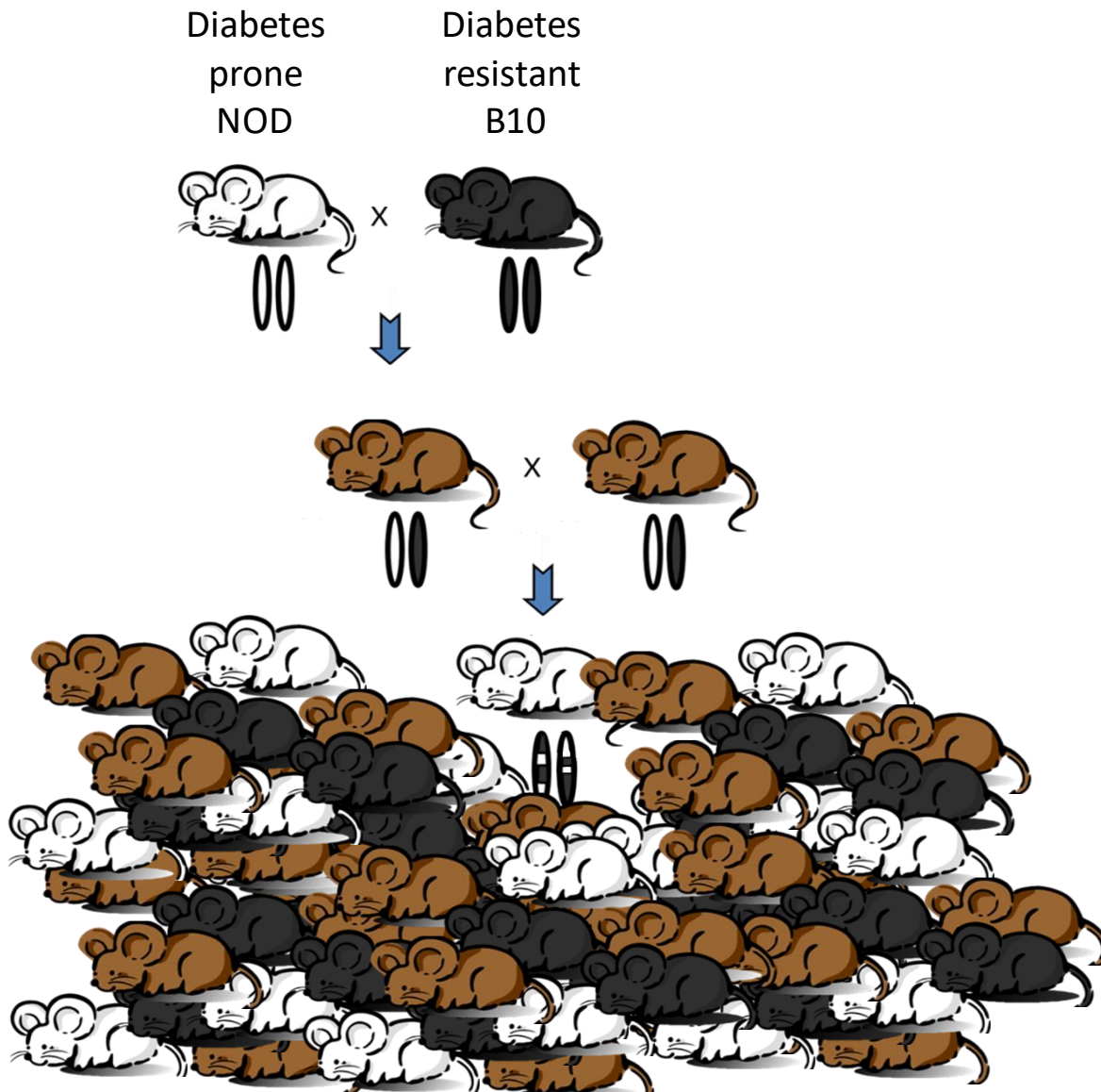


Génétique des cellules DN T

Souris prédisposée
au diabète - NOD



Idd2 est lié à la proportion de cellules DN T



Génétique classique

	Mouse strains	Loci	Candidate gene validation
NK cell functional maturation	B6.Rag1 ^{-/-} vs NOD.Rag1 ^{-/-}	6 loci, none <i>Idd</i> related	TRP53
Pre-mNK cells	B6.Rag1 ^{-/-} vs NOD.Rag1 ^{-/-}	Distal chromosome 7	(>500 candidates)
NK cells	B6.Rag1 ^{-/-} vs NOD.Rag1 ^{-/-}	3 loci (Chr. 8, 9 and 17)	(IL-15 on chr 8, not us)
CD4-CD8- TCR αβ+ immunoregulatory T cells	3A9 TCR transgenic B10.BR vs NOD. <i>H2^k</i>	<i>Idd2</i> and <i>Idd13</i>	RAD51 (<i>Idd13</i>)
Thymic selection	3A9 TCR transgenic B10.BR vs NOD. <i>H2^k</i>	Distal chromosome 7, <i>Idd5</i> , <i>Idd8</i> , <i>Idd13</i> , <i>Idd14</i>	BIM (<i>Idd13</i>)
Antibody affinity maturation	3A9 TCR transgenic B10.BR vs NOD. <i>H2^k</i>	Chromosome 12	(~30 candidates)
Pancreatic beta cells	insHEL transgenic.Rag1 ^{-/-} B10.BR vs NOD. <i>H2^k</i>	3 loci (chr. 13 (2), chr. 19)	XRCC4 (Chr 13), GLIS3 (Chr 19)
Plasmacytoid dendritic cells	B6.Rag1 ^{-/-} vs NOD.Rag1 ^{-/-}	Chromosome 7	(>1000 candidates)
Merocytic dendritic cells	B6.Rag1 ^{-/-} vs NOD.Rag1 ^{-/-}	<i>Idd13</i>	BIM



Souches de souris communes

A/J



B6



129S



NOD



NZO



PWK



CAST



WSB



C3H



BALB/c



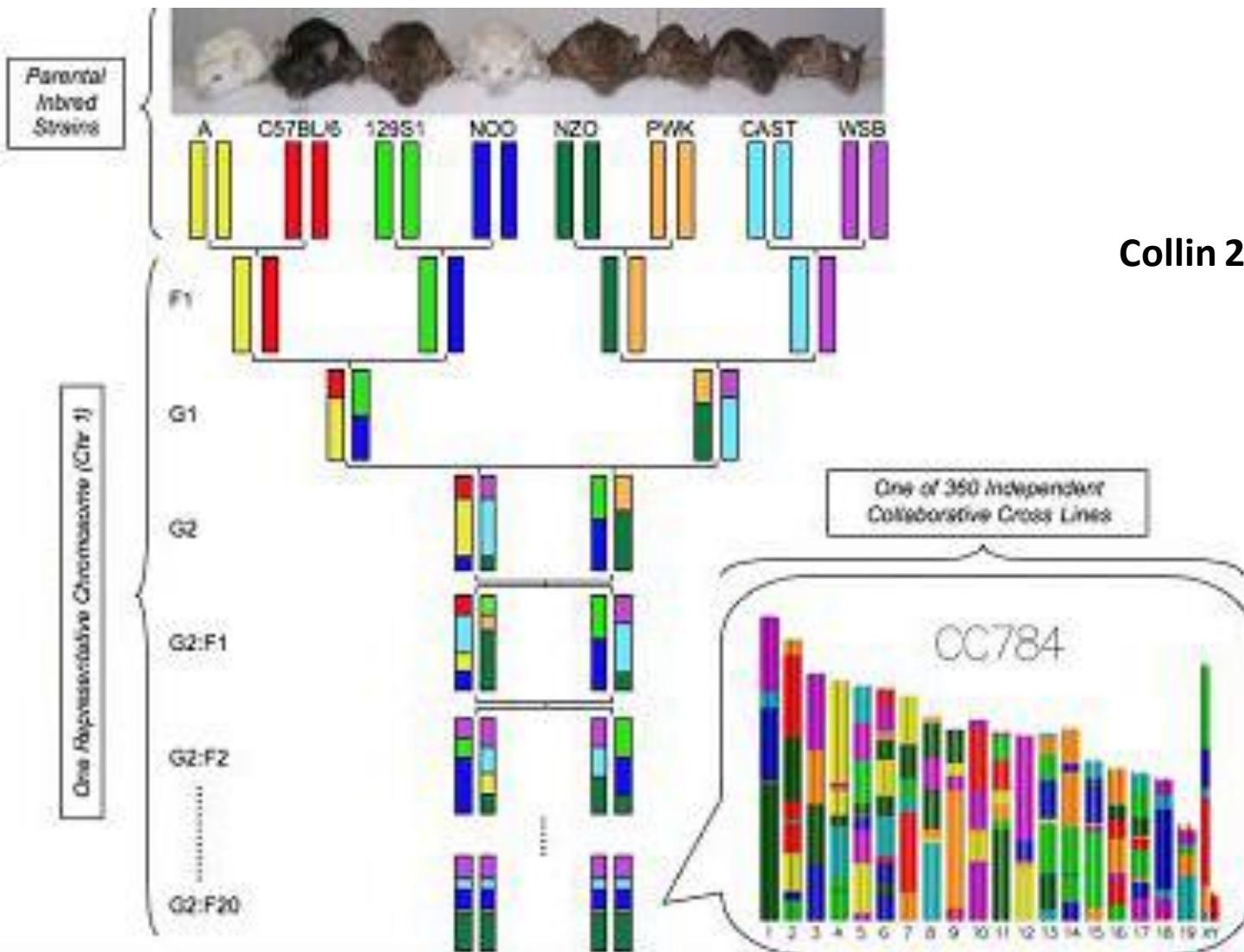
NOR



FVB



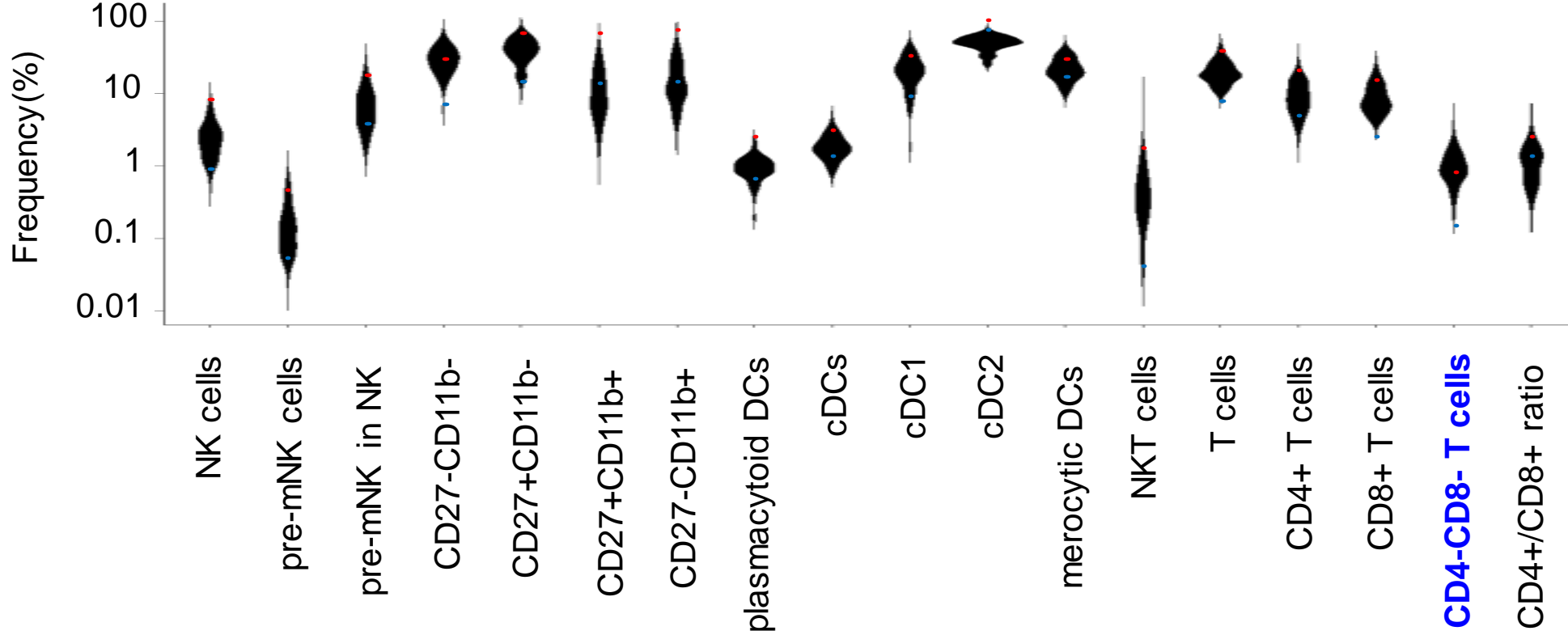
The Collaborative Cross



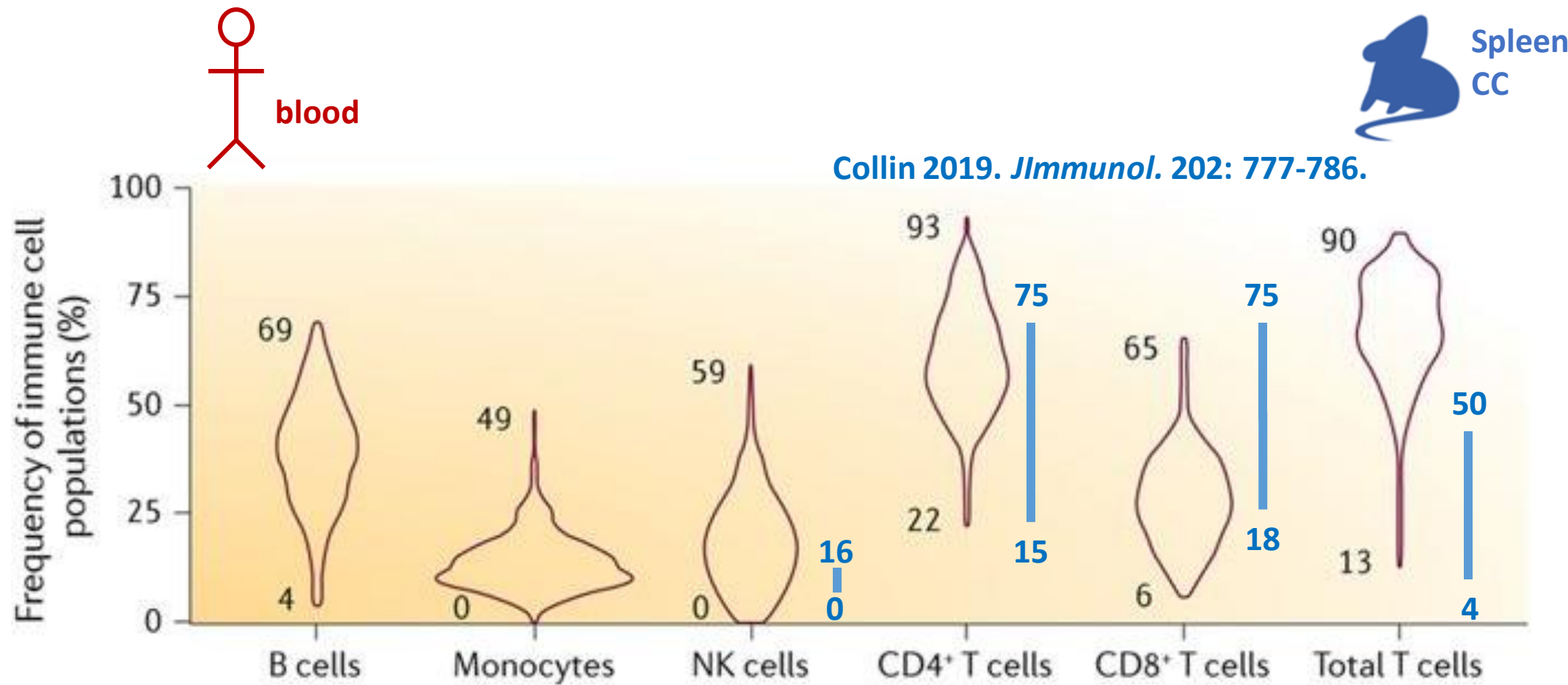
Collin 2019. *J Immunol.* 202: 777-786.



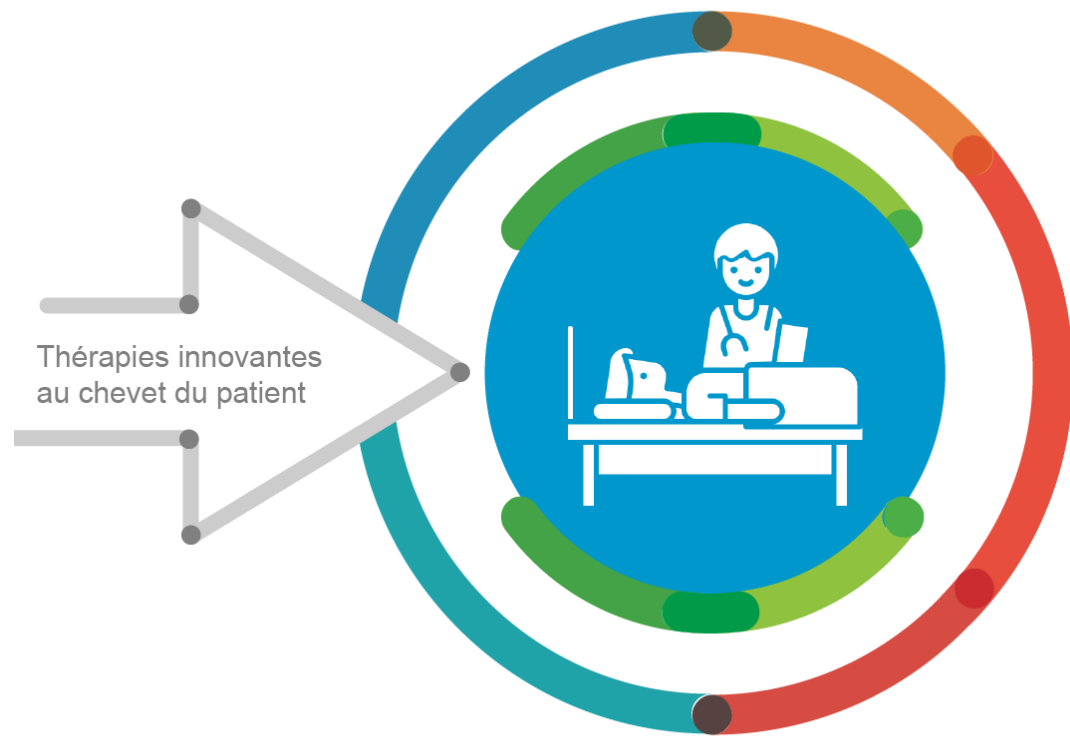
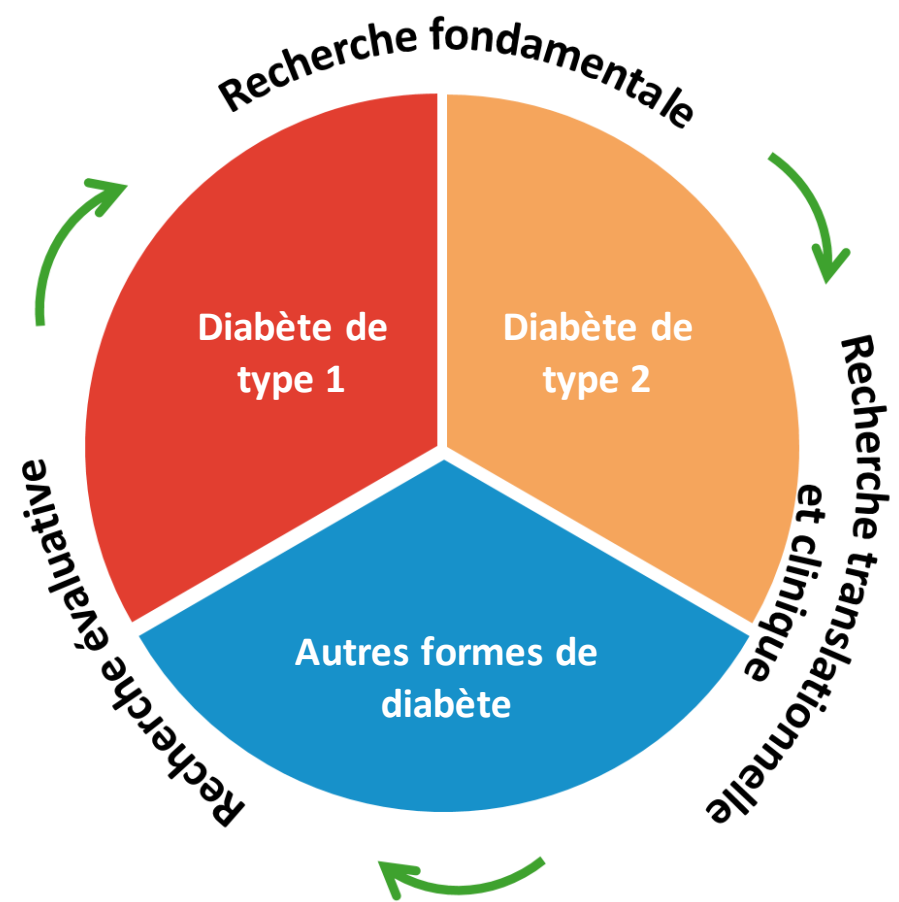
Variation dans la distribution des cellules immunitaires



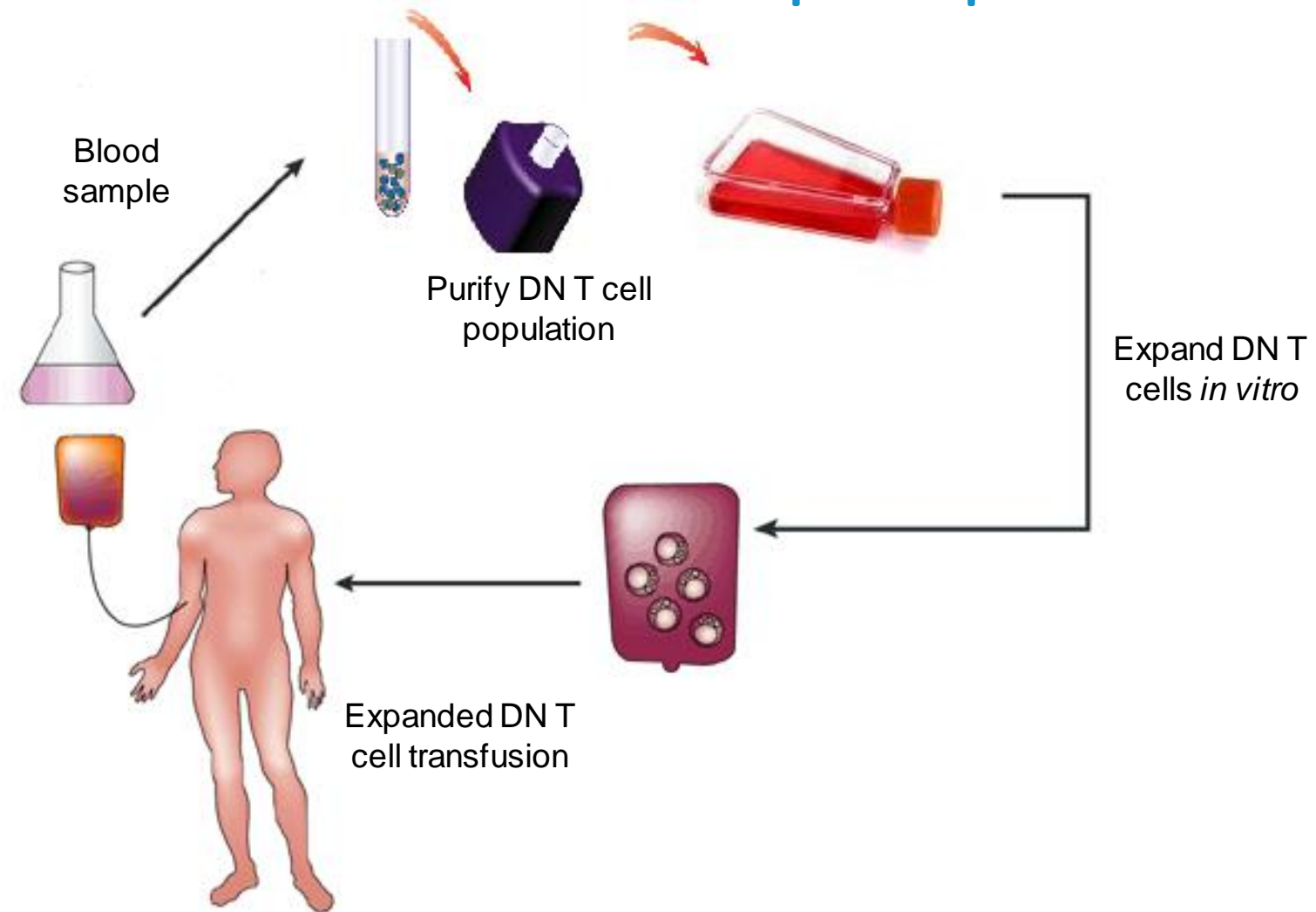
Variation dans la distribution des cellules immunitaires



De la recherche fondamentale jusqu'aux soins



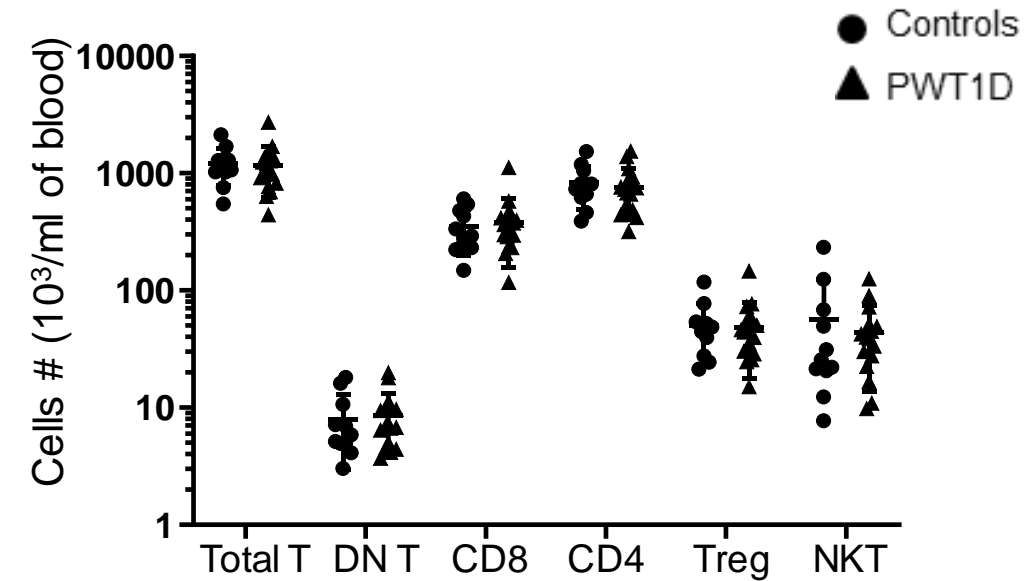
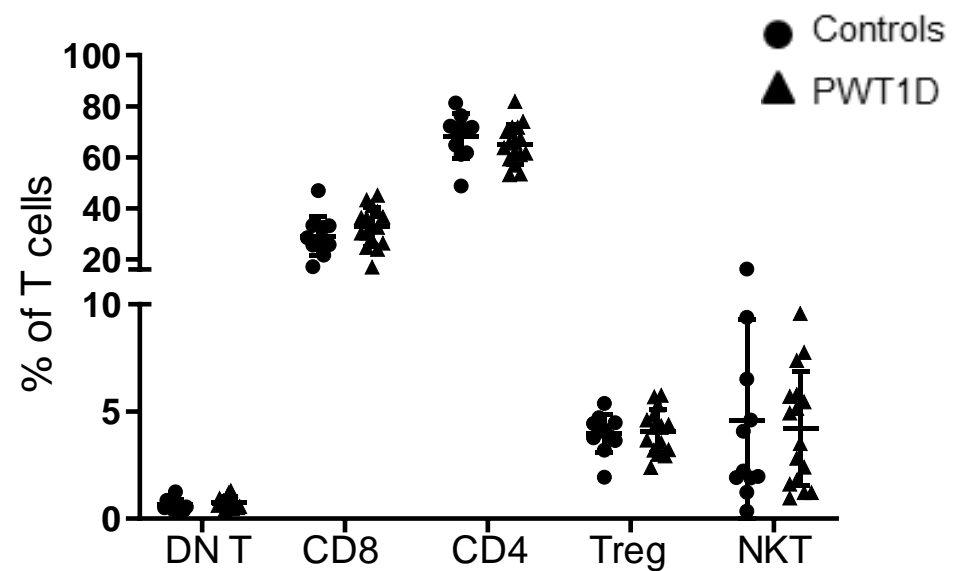
Objectif: Augmenter le nombre de cellules DN T pour prévenir le diabète



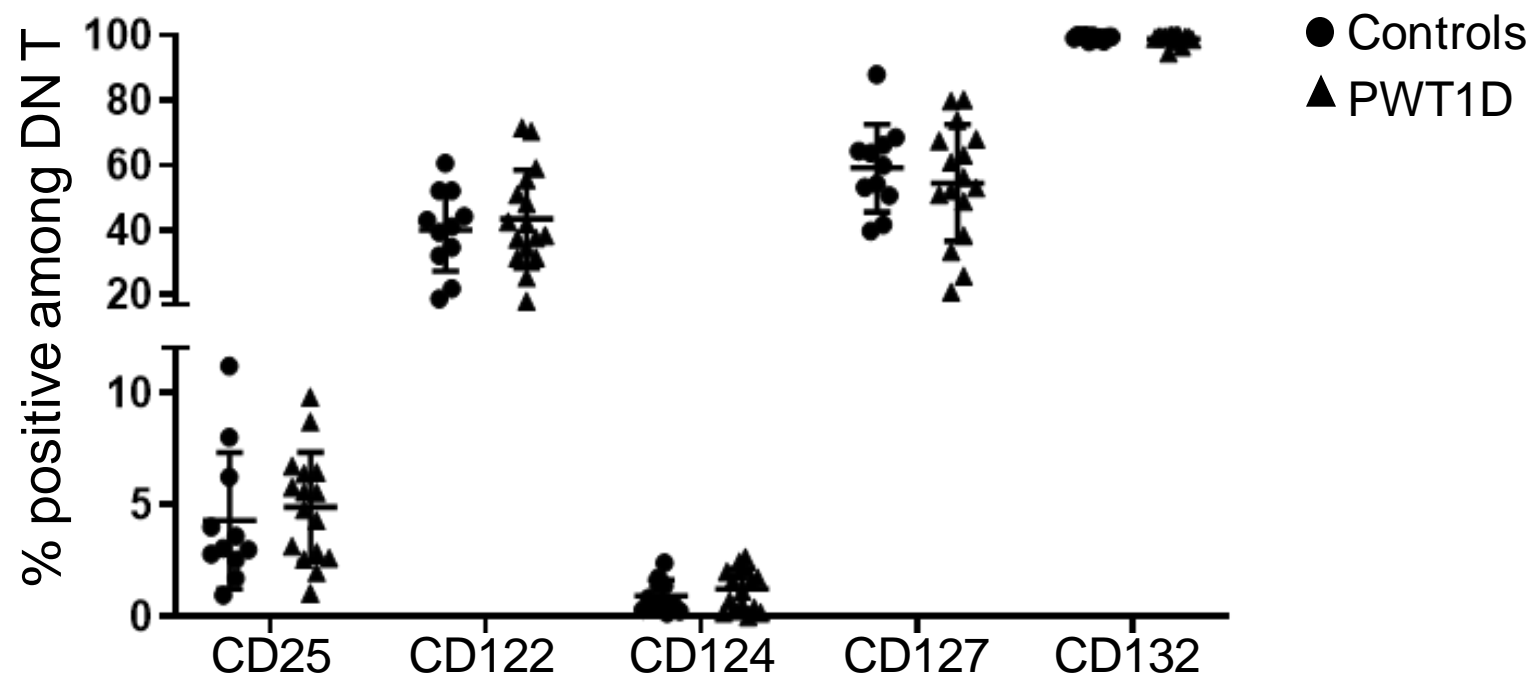
		Controls	T1D
Age	Sample size	11	16
	Median	31	22
	Mean	31	24
	Range	26-36	18-37
	p (mean)	0.0012	
Sex	F (%)	5 (45)	6 (38)
	M (%)	6 (55)	10 (62)
	p (sex)	0.6794	
	Smokers (%)	1 (9)	3 (19)
HbA1c (%)	≥8 (%)	NA	6 (38)
	<8 (%)	NA	8 (50)
	unknown	NA	2 (12)
Ethnicity	Caucasian (%)	10 (91)	12 (75)
	Hispanic (%)	1(9)	0
	Afro Caribbean (Haitian) (%)	0	1 (6)
	North African (%)	0	3 (19)



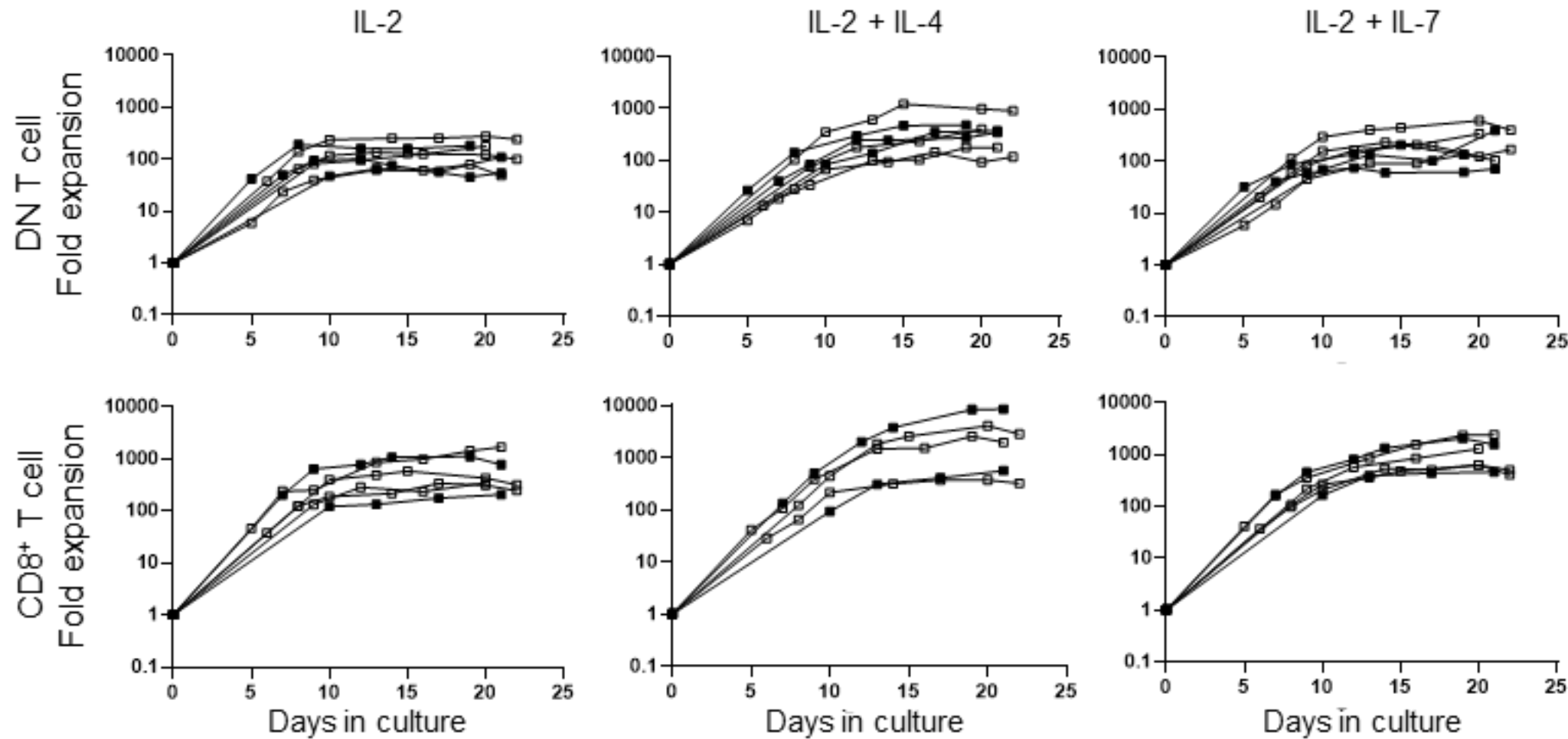
Distribution normale des cellules T



Expression des récepteurs de cytokines



Augmentation de 100 à 500 fois en 10 jours



Augmentation de 500 fois en 10 jours

De 2 000\$ à
1 000 000\$ en
10 jours

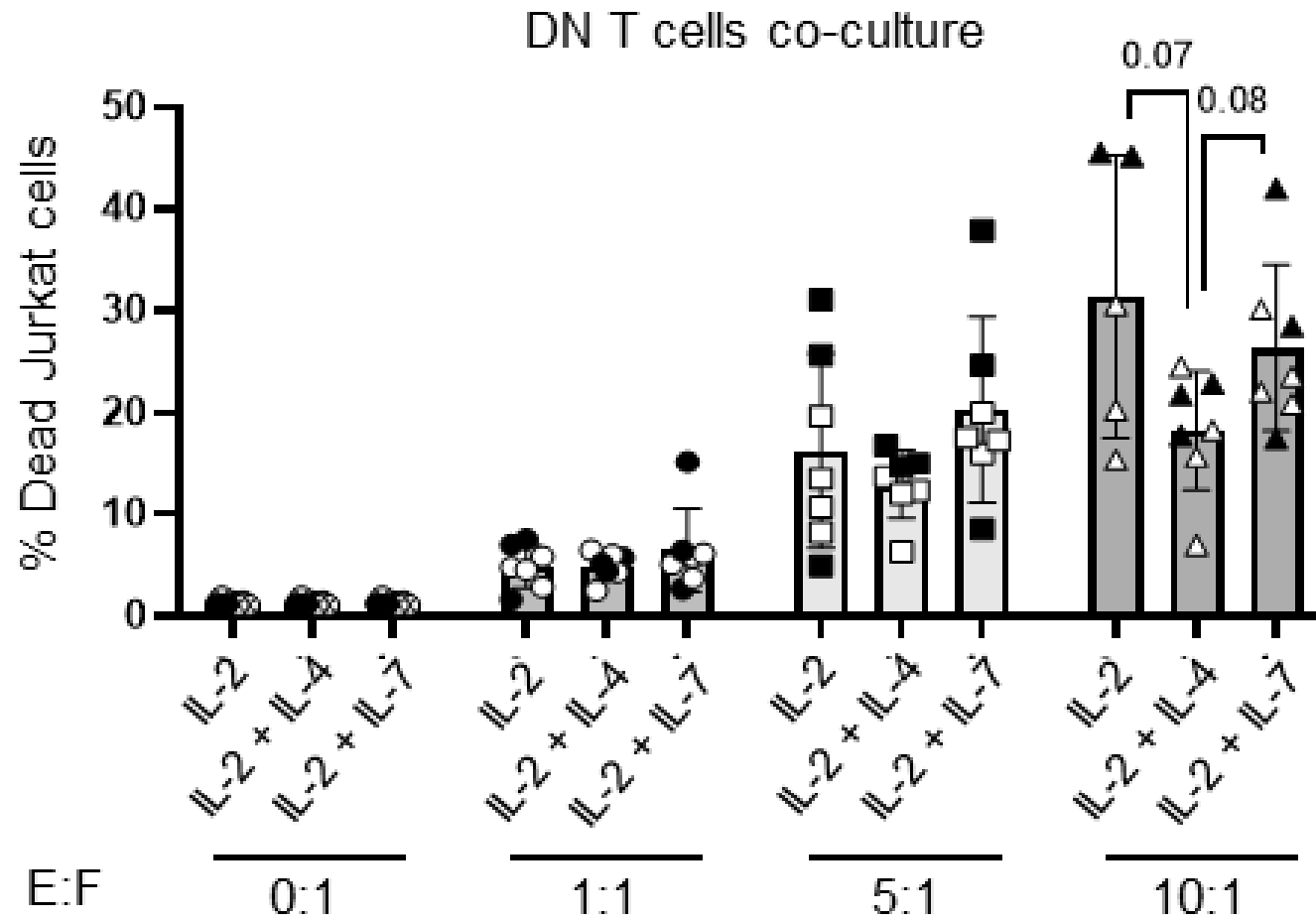


Chaque condition impose des différences

		IL-2		IL-2 + IL-4		IL-2 + IL-7			
		Control	T1D	Control	T1D	P-value vs. IL-2	Control	T1D	P-value vs. IL-2
2B4+	26	30	28	31	NS	28	31	NS	
	25	24	25	23	NS	19	18	*	
CD57+	1853	1594	1570	1433	*	1954	1716	**	
	14,1	18,0	11,3	10,9	NS	9,2	13,9	NS	
FAS MFI	1770	1810	1567	1423	NS	2159	2372	*	
	13,6	12,7	13,2	13,5	NS	13,6	13,5	NS	
KLRG1+	5021	4550	3636	3301	***	6978	6497	***	
	78	76	87	88	***	79	73	NS	
LAG-3 MFI	67	66	49	56	***	65	67	NS	
	69	62	80	72	***	72	66	NS	
PD-1+									
TIM-3 MFI									
CCR7+									
CD45RA+									
CD45RO+									



Les cellules DN T demeurent fonctionnelles peu importe la condition de culture



Conclusions

- Plusieurs types de diabète
- Une variété de thérapies en différentes phases de développement
- Le système immunitaire est une composante centrale (T1D)
- Comprendre le système immunitaire et la génétique pour mieux les manipuler
- Les cellules DN T seront peut-être la prochaine thérapie!



Remerciements

Labo LESAGE:

Geneviève Chabot-Roy
Félix Lombard-Vadnais, PhD
Ernesto Fajardo
Lise Coderre, PhD
Sarah Pasquin, PhD
Daria Vdovenko, PhD
Adrien Fois
Sahily Rodriguez Torres
Capucine Bourel
Marine Rousseau



MERCI